

مدیریت توان راکتیو در شبکه توزیع با درنظرگرفتن عدم قطعیت‌ها

در حضور تجهیزات جبران‌کننده توان راکتیو گسته و پیوسته

محبوبه اعتمادی‌زاده، مریم رمضانی و حمید فلقی

- v_{co} : سرعت قطع شدن توربین بادی [m/s]
 P_{sn} : توان نامی نیروگاه خورشیدی [kW]
 G_{std} : میزان تابش محیط در شرایط استاندارد [W/m³]
 R_c : میزان تابش ثابت بر حسب [W/m³]
 μ : میانگین توزیع احتمالاتی بار شبکه
 σ : انحراف معیار توزیع احتمالاتی بار شبکه
 p : تعداد پارامترهای "اتورگرسیو"
 q : تعداد پارامترهای "میانگین حرکتی"
 ϵ : خطای داده ام
 \emptyset : ثابت ام اتورگرسیو
 θ_j : ثابت زام میانگین حرکتی
 t : میانگین سرعت باد در زمان t
 σ_t : انحراف معیار سرعت باد در زمان t
 c^{Qgrid} : هزینه توان راکتیو شبکه [SGD/kVArh]
 c^{Pgrid}_t : هزینه توان اکتیو شبکه [SGD/kWh]
 c^{PDG} : هزینه پرداختی برای تولید توان اکتیو منابع تولید پراکنده [SGD/kWh]
 I_{max} : حداکثر جریان انتقالی در خطوط توزیع [p.u.]
 π_s : احتمال سناریوی ام
 S_{max}^{DG} : حداکثر توان ظاهری اینورتر منابع تولید پراکنده
 SOC_{min} : حد پایین نرخ شارژ باتری [%]
 SOC_{max} : حد بالای نرخ شارژ باتری [%]
 P_{min}^{BESS} : حداقل توان شارژ و دشارژ باتری [kW]
 P_{max}^{BESS} : حداکثر توان شارژ و دشارژ باتری [kW]
 S_{max}^{BESS} : حداکثر توان ظاهری اینورتر باتری سیستم‌های ذخیره‌ساز انرژی [kVA]
 η^{DCH} و η^{CH} : بازده شارژ و دشارژ باتری
 E_x^{BESS} : ظرفیت انرژی باتری ام x [kWh]
 Q^{min} : حداقل توان راکتیو منابع تولید پراکنده [kVAr]
 Q^{max} : حداکثر توان راکتیو منابع تولید پراکنده [kVAr]
 Q_{av} : مکسیمم توان راکتیو در دسترس منابع تولید پراکنده [kVAr]
 m : هزینه در دسترس بودن منابع تولید پراکنده [\$]
 m : هزینه تلفات اضافی منابع تولید پراکنده [\$(MVar)^r]
 m : هزینه فرست ازدست‌رفته منابع تولید پراکنده [\$(MVar)^r]
 Z_1, Z_2, Z_3, Z_4 : متغیرهای باینری تعیین کننده ناحیه عملکرد منابع تولید پراکنده
 QPF_X^{DG} : تابع پرداخت توان راکتیو منبع تولید پراکنده ام

چکیده: سرعت افزایش سطح نفوذ منابع تولید پراکنده در شبکه قدرت و ماهیت تصادفی این منابع، نحوه بهره‌برداری و طراحی این شبکه‌ها را دستخوش تغییر کرده که مدیریت توان راکتیو در شبکه‌های توزیع از این دسته هستند. استفاده از این منابع در شبکه‌های توزیع بدون چالش نیست و عدم مدیریت بهینه توان راکتیو ممکن است که بهره‌وری‌های اقتصادی برای شبکه به همراه نداشته باشد. سیستم‌های ذخیره‌ساز انرژی، پتانسیل حل این مشکل را دارد؛ لذا در این مقاله، مدیریت توان راکتیو در یک ریزشبکه متصل به شبکه اصلی با درنظرگرفتن عدم قطعیت در بار شبکه و تولید توان نیروگاه بادی و خورشیدی (BESS) و تجهیزات جبران‌کننده توان راکتیو گسته شامل بانک‌های خازنی با درنظرگرفتن عدم قطعیت در بار شبکه و تولید توان نیروگاه بادی و خورشیدی انجام شده است. نهایتاً کارایی روش بیان شده با انجام مطالعات عددی بر روی شبکه‌های توزیع ۳۳ و ۶۹ شبیه IEEE و در محیط نرم‌افزار بهینه‌سازی GAMS پیاده‌سازی گردیده است.

کلیدوازه: بانک‌های خازنی، پخش بار احتمالی، سیستم‌های ذخیره‌ساز انرژی، عدم قطعیت، مدیریت توان راکتیو، منابع تولید پراکنده.

فهرست اصطلاحات

اندیس‌ها

n و s : تعداد سناریوها و شمارنده سناریو

t : تعداد ساعت‌های پیش‌بینی و شمارنده ساعت

N : تعداد خطوط شبکه

M : تعداد منابع تولید پراکنده تجدیدپذیر

B : تعداد باتری‌ها

X : شمارنده منابع تولید پراکنده و باتری‌ها

j و k : شمارنده گره‌ها

پارامترها

v_{ci} : سرعت وصل شدن توربین بادی [m/s]

v_r : سرعت نامی توربین بادی [m/s]

$P_{v,r}$: توان نامی توربین بادی [kW]

این مقاله در تاریخ ۲۹ شهریور ماه ۱۴۰۱ دریافت و در تاریخ ۲۲ اسفند ماه ۱۴۰۱ بازنگری شد.

محبوبه اعتمادی‌زاده، دانشکده مهندسی برق و کامپیوتر، دانشگاه بیرجند، بیرجند، ایران، (email: m.eturnadizadeh@birjand.ac.ir).

مریم رمضانی (نویسنده مسئول)، دانشکده مهندسی برق و کامپیوتر، دانشگاه بیرجند، بیرجند، ایران، (email: mramezani@birjand.ac.ir).

حمید فلقی، دانشکده مهندسی برق و کامپیوتر، دانشگاه بیرجند، بیرجند، ایران، (email: falaghi@birjand.ac.ir).

۱- مقدمه

به دلیل نیاز روزافزون به دیماند توان راکتیو در سیستم‌های قدرت و اثر نامطلوب کمبود آن، تأمین و جبران توان راکتیو از اهمیت شایانی برخوردار است. جبران توان راکتیو موجب بهبود پروفیل ولتاژ و کاهش تلفات می‌شود و همچنین روشی برای فراهم کردن تنظیم ولتاژ در شبکه قدرت است [۱]. خازن‌ها در شبکه توزیع به صورت گسترده‌ای به عنوان روشی ممکن و مقرون به صرفه در تأمین و جبران توان راکتیو به کار بردۀ می‌شوند [۲]. در سال‌های اخیر استفاده از منابع انرژی توزیع شده^۱ (DER) شامل تولیدات پراکنده^۲ (DG) و سیستم‌های ذخیره انرژی الکتریکی (ESS)^۳ جهت جبران توان راکتیو در شبکه‌های توزیع، گسترش روزافزونی یافته است. عرضه برق سازگار با محیط زیست، محدودیت ساخت خطوط انتقال جدید و کاهش استفاده از منابع سوختی از جمله مزایای تولیدات پراکنده می‌باشد [۳]. تا کنون پژوهش‌های زیادی در زمینه بهینه‌سازی توان راکتیو در شبکه‌های توزیع انجام شده است. این پژوهش‌ها را در مورد بهینه‌سازی توان راکتیو در شبکه‌های توزیع می‌توان از دیدگاه‌های متفاوتی بررسی نمود که عبارت هستند از انواع تجهیزات موجود برای جبران سازی توان راکتیو [۴] تا [۱۲]، اجزای تابع هدف و هزینه‌های تأمین توان راکتیو [۸] و [۹]، مدل‌سازی عدم قطعیت [۸] و [۱۰] و مالکیت منابع تولید پراکنده و سیستم‌های ذخیره انرژی الکتریکی [۱۱] و [۱۲]. در پژوهش‌های مختلف از تجهیزات متفاوتی برای جبران و یا بهینه‌سازی توان راکتیو در شبکه‌های توزیع استفاده گردیده است [۴] تا [۱۲]. پژوهش‌های زیادی در زمینه بهینه‌سازی توان راکتیو در شبکه‌های توزیع با استفاده از تپ‌چنجر قابل تغییر زیر بار، بانک‌های خازنی و منابع تولید پراکنده (DG) انجام شده است [۱۳] تا [۱۵].

در برخی از پژوهش‌های انجام‌شده در زمینه بهینه‌سازی توان راکتیو در شبکه‌های توزیع، از منابع تولید پراکنده و خودروهای الکتریکی به عنوان تجهیزات جبران توان راکتیو استفاده شده است [۱۱] و [۱۶]. همچنین در برخی از پژوهش‌ها از منابع تولید پراکنده و سیستم‌های ذخیره انرژی برای بهینه‌سازی توان راکتیو در شبکه‌های توزیع استفاده گردیده است [۱۷] و [۱۸].

در [۱۰] و [۱۹] از منابع تولید پراکنده برای بهینه‌سازی توان راکتیو در شبکه‌های توزیع استفاده شده است. جبران توان راکتیو در شبکه‌های توزیع با استفاده از بانک‌های خازنی و منابع تولید پراکنده در پژوهش‌های [۱۲] و [۲۰] انجام شده است.

اهداف مختلفی برای مسئله بهینه‌سازی توان راکتیو در پژوهش‌های مختلف با توجه به چارچوب تعریف شده برای حل مسئله، شامل حل مسئله در محیط بازار برق، درنظرگرفتن ساختار سنتی، امکان شارش توان راکتیو، این راکتیو به شبکه بالادست، مالکیت منابع تولید پراکنده و سیستم‌های ذخیره انرژی الکتریکی لحاظ شده است. بدون درنظرگرفتن بازار توان راکتیو، این اهداف عبارت هستند از کاهش تلفات شبکه، بهبود ضریب توان و بهبود پروفیل ولتاژ [۱۹]، [۲۱] و [۲۲]. تابع هدف در نظر گرفته شده در [۹] و [۱۱] شامل کمینه‌سازی تلفات شبکه می‌باشد. کمینه‌سازی هزینه تلفات شبکه و بهبود پروفیل ولتاژ به عنوان پارامترهای تابع هدف در [۱۳] و [۱۴] در نظر گرفته شده است. در محیط بازار برق، هزینه تأمین توان راکتیو توسط منابع تولید پراکنده (DG) و سیستم‌های ذخیره انرژی

V_t : ولتاژ نقطه اتصال شبکه
 I_c : ولتاژ و جریان اینورتر
 X_c : راکتیس اینورتر
 C_R ، C_V و C_{self} : ثابت‌های تجربی متناسب با منحنی طرفیت اینورتر

متغیرها

$c_{x,s,t}^{QDG}$: هزینه تولید توان راکتیو توسط منبع تولید پراکنده x ام در سناریوی s و زمان t [SGD/kVArh]

$c_{x,s,t}^{QBESS}$: هزینه تولید توان راکتیو توسط باتری x ام در سناریوی s و زمان t [SGD/kVArh]

G_t : میزان تابش خورشید در زمان t [W/m²]

$I_{s,jk,t}$: جریان انتقالی در خط اتصال گره j و k در سناریوی s و زمان t [p.u.]

$P(v)$: توان خروجی توربین بادی [kW]

$P_t^{su}(G_t)$: توان تولیدی نیروگاه‌های خورشیدی [kW]

P^D : توان مصرفی ریزشبکه‌ها [kW]

$P_{s,t}^{grid}$: توان راکتیو دریافتی (ترریقی) از (به) شبکه در سناریوی s و زمان t [kW]

$P_{j,s,t}^{load}$: تقاضای توان راکتیو در گره j ام در سناریوی s و زمان t [kW]

$P_{x,s,t}^{DG}$: توان راکتیو تزریق شده به شبکه توسط منبع تولید پراکنده ام در سناریوی s و زمان t [kW]

$P_{jk,s,t}^{loss}$: تلفات توان در خط اتصال گره j و k در سناریوی s و زمان t [kW]

$P_{x,s,t}^{BESS or B}$: توان شارژ یا دشارژ باتری x ام در سناریوی s و زمان t [kW]

$P_{x,s,t}^{invloss}$: تلفات توان اینورتر باتری x ام در سناریوی s و زمان t [kW]

$Q_{s,t}^{grid}$: توان راکتیو دریافتی (ترریقی) از (به) شبکه در سناریوی s و زمان t [kVAr]

$Q_{jk,s,t}^{loss}$: تلفات توان راکتیو در خط اتصال گره j و k در سناریوی s و زمان t [kVAr]

$Q_{x,s,t}^{load}$: تقاضای توان راکتیو در گره j ام در سناریوی s و زمان t [kVAr]

$Q_{x,s,t}^{DG}$: توان راکتیو تزریق شده به شبکه توسط منبع تولید پراکنده ام در سناریوی s و زمان t [kVAr]

$Q_{x,s,t}^{BESS or B}$: توان راکتیو تزریق شده به شبکه توسط باتری x ام در سناریوی s و زمان t [kVAr]

Q_{mnd} : توان راکتیو الزامی منابع تولید پراکنده [kVAr]

$S_{jk,s,t}^{loss}$: تلفات توان ظاهری در خط اتصال گره j و k در سناریوی s و زمان t [kVA]

$SOC_{x,s,t}$: نرخ شارژ باتری x ام در سناریوی s و زمان t

$V_{j,s,t}$: ولتاژ گره j ام در سناریوی s و زمان t [p.u.]

v : سرعت باد [m/s]

z_t : مقدار سری زمانی آرما در زمان t

$\delta_{x,s,t}^{CH}$: متغیر باینری نشان‌دهنده وضعیت شارژ باتری

$\delta_{x,s,t}^{DCH}$: متغیر باینری نشان‌دهنده وضعیت دشارژ باتری

1. Distributed Energy Resources
2. Distributed Generation
3. Energy Storage System

مرور مختصر ارائه شده در مورد مسئله مدیریت توان راکتیو در شبکه‌های توزیع نشان می‌دهد که در بسیاری از مقالات، مسئله مدیریت توان راکتیو بدون مدل‌سازی هزینه توان راکتیو تجهیزات کنترل توان راکتیو پیوسته (شامل تولیدات پراکنده و سیستم‌های ذخیره انرژی الکتریکی) انجام شده است. در [۱۷] مسئله مدیریت توان راکتیو در شبکه‌های توزیع بدون درنظرگرفتن عدم قطعیت‌های موجود در مسئله انجام شده است. همچنین با توجه به مشخصات مسئله که یک مسئله غیرخطی و غیرمحدد است، استفاده از روش‌های خطی‌سازی و تبدیل روابط غیرخطی به روابط خطی و محاسبه برای رسیدن به جواب بهینه بسیار مطلوب می‌باشد؛ به همین منظور برای پرکردن خلاهای علمی موجود در این مقاله دو ساختار مختلف مطالعه می‌شود. ساختار اول حالتی است که مسئله مدیریت توان راکتیو در حضور نیروگاه بادی و خورشیدی و سیستم‌های ذخیره‌ساز انرژی و با درنظرگرفتن عدم قطعیت در بار شبکه و تولید توان نیروگاه بادی و خورشیدی و مدل‌سازی هزینه توان راکتیو تجهیزات کنترل توان راکتیو پیوسته انجام شده است. در این ساختار یک تابع هدف عملی برای ایجاد تعادل بین تأمین توان راکتیو توسط منابع تولید پراکنده و سیستم‌های ذخیره‌ساز انرژی و تلفات شبکه توزیع ارائه شده است. روش پیشنهادی بر اساس برنامه‌ریزی تصادفی است. در مدل پیشنهادی با استفاده از روش آرما سناریوهای مختلفی برای پارامترهای دارای عدم قطعیت سیستم یعنی سرعت باد و میزان تابش خورشید تولید می‌شود. برای مدل‌سازی عدم قطعیت در بار شبکه از تابع توزیع نرمال استفاده شده است. در ساختار دوم، مدیریت توان راکتیو در حضور تجهیزات جبران‌کننده توان راکتیو گستته شامل بانک‌های خازنی انجام گردیده است. در این ساختار فرض شده است که منابع تولید پراکنده و سیستم‌های ذخیره‌ساز انرژی، قابلیت تولید توان راکتیو را نداشته و فقط بانک‌های خازنی قابل کلیدزنی برای مدیریت توان راکتیو شبکه در دسترس هستند. اهداف اصلی مقاله حاضر را می‌توان به شرح زیر خلاصه کرد:

- (۱) مدیریت توان راکتیو در شبکه توزیع با استفاده از منابع تولید پراکنده (DG) شامل نیروگاه بادی و خورشیدی، سیستم‌های ذخیره انرژی الکتریکی (BESS) و خازن‌های قابل کلیدزنی
- (۲) مدل‌سازی عدم قطعیت‌های موجود در مسئله شامل عدم قطعیت در بار شبکه و توان خروجی نیروگاه بادی و خورشیدی با استفاده از روش تولید سناریو
- (۳) فرمول‌بندی هزینه‌های تأمین توان راکتیو منابع تولید پراکنده (DG) و سیستم‌های ذخیره انرژی الکتریکی (BESS)، خطی‌سازی روابط ارائه شده و پیاده‌سازی مسئله در محیط نرم‌افزار بهینه‌سازی گمز
- (۴) حل مسئله با درنظرگرفتن امکان تزریق توان راکتیو و راکتیو به شبکه بالادرست

ابتدا در بخش دوم به مدل‌سازی احتمالاتی بار و توان خروجی منابع تولید پراکنده، مدل‌سازی عدم قطعیت‌های موجود در مسئله و تولید سناریو پرداخته خواهد شد. مدل تابع هدف پیشنهادی، محدودیت‌های شبکه، محدودیت‌های تجهیزات جبران‌کننده توان راکتیو و مدل‌سازی هزینه توان راکتیو این تجهیزات در بخش سوم معرفی خواهد شد. معادلات پخش بار شبکه در بخش چهارم آمده است. بخش پنجم به ارائه روش خطی‌سازی مدل پیشنهادی اختصاص خواهد داشت. در بخش ششم به ارائه نتایج شبیه‌سازی پرداخته خواهد شد و نهایتاً در بخش هفتم جمع‌بندی و نتیجه‌گیری مقاله آمده است.

الکتریکی (BESS) بر اساس منحنی ظرفیت آنها در حالت کلی شامل هزینه تلفات اضافی به دلیل تزریق توان راکتیو، هزینه دردسترس بودن و هزینه فرست از دست رفته می‌باشد [۸] و [۲۳]. در برخی از پژوهش‌های انجام شده، هزینه تلفات اضافی به دلیل تزریق توان راکتیو و هزینه فرست از دست رفته به عنوان هزینه تأمین توان راکتیو توسط منابع تولید پراکنده در نظر گرفته‌اند [۲۴].

در [۱۷] و [۲۴] هزینه تأمین توان راکتیو توسط سیستم‌های ذخیره از نظر شامل هزینه تلفات اضافی به دلیل تأمین توان راکتیو توسط این منابع در نظر گرفته شده است. در [۲۵]، کمینه‌سازی تابع پرداخت کلی قابل انتظار اپراتور سیستم توزیع به ژئوپورها شامل هزینه انرژی منابع تولید پراکنده، هزینه توان راکتیو منابع تولید پراکنده شامل هزینه تلفات و هزینه دردسترس بودن، هزینه انرژی و توان راکتیو خریداری شده توسط کمپانی توزیع از بازار بالادرست و هزینه سود از دست رفته پرداخت شده به مالکان منابع تولید پراکنده به عنوان پارامترهای مؤثر در تابع هدف در نظر گرفته شده‌اند. تابع هزینه مورد انتظار توان راکتیو منابع تولید پراکنده با استفاده از منحنی ظرفیت منابع تولید پراکنده به دست می‌آید و قیمت‌های پیشنهادی منابع تولید پراکنده توزیع شده و تجدیدپذیر داده شده است. همچنین هزینه سود از دست رفته برابر خواهد بود با سود دریافتی منابع تولید پراکنده از فروش انرژی در بازار جدایانه توان راکتیو و بازار مشترک.

بسیاری از پژوهش‌های انجام شده در زمینه بهینه‌سازی توان راکتیو به حل مسئله با توجه به عدم قطعیت پارامترهای نامطمئن پرداخته‌اند [۸]، [۲۰] و [۲۱]. عدم قطعیت در نظر گرفته شده در [۱۰] و [۲۱] شامل عدم قطعیت در توان خروجی منابع تولید پراکنده تجدیدپذیر می‌باشد. در مدل پیشنهادی [۸] از روش سناریوی درخت به منظور مدل‌سازی عدم قطعیت‌های مربوط به تابش خورشید، سرعت باد و پاسخگویی بار استفاده گردیده است. در این مقاله همچنین تأثیر نفوذ انرژی خورشیدی و باد بر قیمت‌های محلی توزیع راکتیو و راکتیو در محیط بازار توزیع مورد بررسی قرار گرفته است.

در بسیاری از پژوهش‌های انجام شده برای بهینه‌سازی توان راکتیو در شبکه‌های توزیع مالک منابع تولید پراکنده و سیستم‌های ذخیره انرژی الکتریکی، خود شبکه توزیع در نظر گرفته شده است [۲۰] و [۲۲] تا [۲۰] و [۲۶]. از این رو در این مراجع هیچ هزینه‌ای برای جبران توان راکتیو توسط تجهیزات جبران توان راکتیو در نظر گرفته نشده است. مالک منابع تولید پراکنده در برخی از پژوهش‌های انجام شده، شرکت‌های تولیدی در نظر گرفته شده است [۱۶]، [۲۳] و [۲۷]. تابع پرداخت منابع تولید پراکنده در این مراجع شامل هزینه تلفات اضافی ناشی از تزریق توان راکتیو، هزینه دردسترس بودن و هزینه فرست از دست رفته می‌باشد که با استفاده از اپراتور سیستم توزیع به مالک منابع تولید پراکنده پرداخت شود. مرجع [۱۷] به تحلیل تأثیر اقتصادی و فنی تأمین توان راکتیو محلی در ریزشبکه‌های متصل به شبکه اصلی در حضور منابع انرژی توزیع شده می‌پردازد. تابع هدف در نظر گرفته شده در این مرجع شامل کمینه‌سازی هزینه توان راکتیو شبکه، هزینه توان راکتیو شبکه، هزینه توان PV، هزینه توان راکتیو از PV، هزینه توان راکتیو از باتری و هزینه تخریب باتری و انحراف ولتاژ است. هزینه تأمین توان راکتیو توسط PV شامل هزینه تلفات اضافی ناشی از تزریق توان راکتیو و هزینه فرست از دست رفته می‌باشد.

احتمالاتی مناسب با رفتار آنها در گذشته نشان داده شود. در مقاله حاضر، برای مدل‌سازی رفتار احتمالاتی بار شبکه ازتابع توزیع نرمال استفاده گردیده است [۲۹]

$$F_L(P^D) = \frac{1}{\sqrt{2\pi} \times \sigma} \exp\left(-\frac{(P^D - \mu)^2}{2 \times \sigma^2}\right) \quad (3)$$

که در رابطه فوق به ازای هر P^D یک عدد برای $F_L(P^D)$ به دست می‌آید. شایان ذکر است که رابطه فوق میزان بار پیک سالانه شبکه را نشان می‌دهد.

۴-۲ مدل‌سازی عدم قطعیت در تولید توان نیروگاه بادی

عموماً سرعت باد دارای میانگین متغیر نیست و از این رو در مقاله حاضر برای مدل‌سازی سرعت باد از سری‌های زمانی آرما استفاده گردیده است. مدل‌های آرما روش‌های پیش‌بینی مبتنی بر مدل‌های سری‌های زمانی هستند [۳۰]. در این روش، پیش‌بینی مقادیر در آینده بر پایه مشاهدات قبلی و اطلاعات گذشته متغیر تصادفی صورت می‌گیرد که عبارت‌های سری‌های زمانی به این امر اشاره دارد. مدل آماری سری زمانی (ARMA) که در واقع ترکیبی از اتورگرسیو (AR) و میانگین حرکتی (MA) می‌باشد برای شناسایی الگو و تخمین داده‌ها به شکل رابطه زیر است

$$z_t = \sum_{i=1}^p \phi_i z_{t-i} + \varepsilon_t - \sum_{j=1}^q \theta_j \varepsilon_{t-j} \quad (4)$$

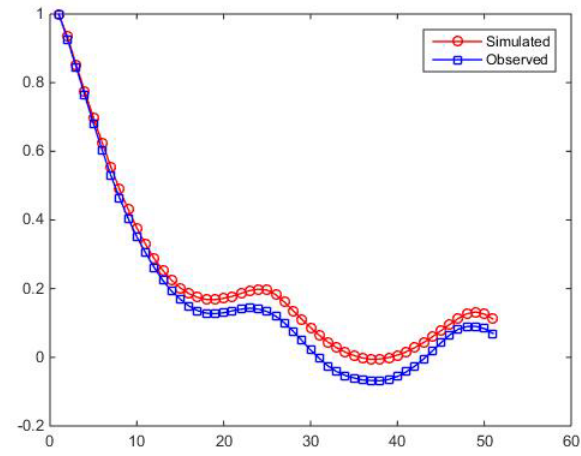
که در رابطه بالا، ε مربوط به نویز سفید یا همان خطای پیش‌بینی بوده و دارای توزیع نرمال با میانگین صفر و انحراف معیار σ می‌باشد. سرعت باد شبیه‌سازی شده در ساعت t ام $WS(t)$ به صورت رابطه زیر محاسبه می‌شود

$$WS(t) = \mu_t + \sigma_t z_t \quad (5)$$

ضرایب الگو و میانگین متحرک با استفاده از ضرایب خودهمبستگی و خودهمبستگی جزئی سرعت باد به دست می‌آید تا بر اساس مقادیر گذشته مؤلفه‌های ستاریوها یعنی سرعت باد و ضریب تابش خورشید، ستاریوهای جدید برای آینده تولید شوند. شایان توجه است که روش آرما در مقایسه با روش مونت‌کارلو از توانایی بیشتری برای ایجاد وابستگی بین متغیرها برخوردار است. برای شبیه‌سازی سرعت باد در این مقاله از اطلاعات سایت واتفورد در منطقه داکوتای شمالی استفاده شده است [۳۱]. میانگین و انحراف معیار داده‌های تاریخی به ترتیب ۹۰۷۷۲ متر بر ثانیه و ۵۳۴۶ هستند. این اطلاعات برای ایجاد سری زمانی آرما استفاده شده است. اطلاعات تاریخی در برگیرنده سرعت باد به مدت ۱۰ سال از ماه ژوئن ۲۰۰۱ تا دسامبر ۲۰۰۹ است. با استفاده از ضرایب همبستگی خودی و همبستگی خودی جزئی برای اطلاعات تاریخی سایت واتفورد، سری زمانی ARMA(۳,۲) به عنوان مناسب‌ترین مدل برای این سایت حاصل شده است. نهایتاً رابطه سری زمانی به صورت زیر مدل می‌شود

$$z_t = \varepsilon_t + 0.94349z_{t-1} - 0.0305183z_{t-2} + 0.127875z_{t-3} - 0.0332758\varepsilon_{t-2} \quad (6)$$

لازم به ذکر است که واریانس تخمینی برای سری زمانی نیز 0.6918 به دست آمده است. در شکل ۱ شاخص خودهمبستگی داده‌های تاریخی در بازه زمانی پیش‌بینی شده و شاخص شبیه‌سازی شده نشان داده شده است. نزدیکی شاخص‌های واقعی و پیش‌بینی شده در این شکل قابل مشاهده هستند.



شکل ۱: شاخص خودهمبستگی سرعت باد پیش‌بینی شده و واقعی سایت واتفورد.

۲-۱ مدل‌سازی احتمالاتی بار و منابع تجدیدپذیر

افزایش روزافزون استفاده از منابع تولید تجدیدپذیر در شبکه‌های توزیع از یک طرف و ماهیت تصادفی الگوهای تجدید ساختار از سوی دیگر، باعث افزایش عدم قطعیت در پارامترهای سیستم‌های قدرت می‌شود. در این مقاله برای پوشش عدم قطعیت پارامترهای نامشخص سیستم از روش تولید سناریو استفاده شده است.

۲-۲ توان تولیدی نیروگاه بادی

توان خروجی، یک توربین بادی متأثر از سرعت باد بوده و یک رابطه غیرخطی بین این دو پارامتر وجود دارد. این مشخصه در (۱) آمده که در آن v_{ci} سرعت بادی است که توربین بادی در آن شروع به کار می‌کند. توان تولیدی توربین در سرعت نامی $P_{v,r}$ به مقدار نامی $P_{v,r}$ می‌رسد و در سرعت v_{co} به دلیل حفظ امنیت، توربین بادی متوقف می‌شود

$$P(v) = \begin{cases} \cdot & , 0 \leq v \leq v_{ci} \\ P_{v,r} \left(\frac{v - v_{ci}}{v_r - v_{ci}} \right) & , v_{ci} \leq v \leq v_r \\ P_{v,r} & , v_r \leq v \leq v_{co} \\ \cdot & , v \geq v_{co} \end{cases} \quad (1)$$

۲-۳ توان تولیدی نیروگاه خورشیدی

توان تولیدی نیروگاه‌های خورشیدی به طور مستقیم به شدت تابش خورشید بستگی دارد. با وجود این، سایر عوامل نظیر دما، شدت وزش باد، موقعیت جغرافیایی و زاویه تابش خورشید نیز سهم زیادی در راندمان سلول‌های خورشیدی ایفا می‌کنند. در این مقاله از (۲) جهت محاسبه انرژی خورشیدی استفاده شده است [۲۸]

$$P_t^{su}(G_t) = \begin{cases} P_{sn} \times \frac{(G_t)^r}{G_{std} R_c} & , 0 < G_t < R_c \\ P_{sn} \times \frac{G_t}{G_{std}} & , G_t > R_c \end{cases} \quad (2)$$

که G_{std} میزان تابش محیط در شرایط استاندارد معادل 1000 W/m^2 و R_c میزان تابش ثابت 150 W/m^2 است.

۳-۲ مدل‌سازی عدم قطعیت بار

در تئوری احتمالات، رفتار تصادفی پارامترها می‌تواند توسط تابع چگالی

تابع هدف نشان‌دهنده هزینه توان اکتیو و راکتیو شبکه می‌باشد. توان اکتیو و راکتیو مبادله‌شده با شبکه اصلی می‌تواند مثبت یا منفی باشد، به این معنی که در صورت ورود توان به ریزشبکه، علامت مثبت به معنای خرید توان از شبکه بالادست و در صورت تزریق توان از ریزشبکه به شبکه بالادست، علامت منفی به معنای فروش توان لحاظ خواهد شد. مؤلفه پنجم و ششم تابع هدف نشان‌دهنده پرداخت ریزشبکه به مالکان منابع تولید پراکنده بابت توان اکتیو و راکتیو تولیدی توسط این منابع می‌باشد. در نهایت مؤلفه هفتم تابع هدف نشان‌دهنده پرداخت ریزشبکه به مالکان سیستم‌های ذخیره‌ساز انرژی بابت توان راکتیو تولیدی توسط این منابع می‌باشد.

$$\begin{aligned} Cost = \sum_{s=1}^n \pi_s & \left(\sum_{t=1}^T c_t^{pgrid} \sum_{j=1}^N \sum_{k=1}^N P_{jk,s,t}^{loss} + c_t^{pgrid} \sum_{x=1}^B P_{x,s,t}^{BESS} + \right. \\ & c_{s,t}^{Pgrid} P_{s,t}^{grid} + c_{s,t}^{Qgrid} Q_{s,t}^{grid} + c^{PDG} \sum_{x=1}^M P_{x,s,t}^{DG} + \\ & \left. \sum_{x=1}^M c_{x,s,t}^{QDG} Q_{x,s,t}^{DG} + \sum_{x=1}^B c_{x,s,t}^{QBESS} Q_{x,s,t}^{BESS} \right) \end{aligned} \quad (8)$$

۲-۳ تابع هدف در نظر گرفته شده در حالت دوم

تابع هدف در نظر گرفته شده در حالت مدیریت توان راکتیو با استفاده از خازن‌های قابل کلیدزنی شامل کاهش هزینه تلفات شبکه، هزینه توان اکتیو و راکتیو شبکه، هزینه توان اکتیو منابع تولید پراکنده تجدیدپذیر، هزینه شارژ باتری و هزینه خازن‌ها با درنظرگرفتن قیود سیستم است [۱۷].

۳-۳ محدودیت‌های سیستم قدرت

محدودیت‌های سیستم قدرت عبارتند از

$$\begin{aligned} P_{s,t}^{grid} - \sum_{j=1}^N \sum_{k=1}^N P_{jk,s,t}^{loss} - \sum_{j=1}^N P_{j,s,t}^{load} + \\ \sum_{x=1}^M P_{x,s,t}^{PV} + \sum_{x=1}^M P_{x,s,t}^{wt} - \sum_{x=1}^B P_{x,s,t}^{BESS} = 0 \end{aligned} \quad (9)$$

$$\begin{aligned} Q_{s,t}^{grid} - \sum_{j=1}^N \sum_{k=1}^N Q_{jk,s,t}^{loss} - \sum_{j=1}^N Q_{j,s,t}^{load} + \\ \sum_{x=1}^M Q_{x,s,t}^{PV} + \sum_{x=1}^M Q_{x,s,t}^{wt} + \sum_{x=1}^B Q_{x,s,t}^{BESS} = 0 \end{aligned} \quad (10)$$

$$S_{jk,s,t}^{loss} = \sqrt{P_{jk,s,t}^{loss} + Q_{jk,s,t}^{loss}} = (V_{j,s,t} - V_{k,s,t}) I_{jk,s,t}^* \quad (11)$$

$$I_{jk,s,t} \leq I_{max} \quad (12)$$

$$V_{min} \leq |V_{j,s,t}| \leq V_{max} \quad (13)$$

رابطه (۹) محدودیت تعادل توان اکتیو در شبکه را نشان می‌دهد. در این رابطه، مقادیر مثبت $P_{x,s,t}^{BESS}$ نشان‌دهنده وضعیت شارژ باتری می‌باشد و در این صورت باتری به عنوان یک بار برای شبکه در نظر گرفته می‌شود. محدودیت تعادل توان راکتیو شبکه در (۱۰) بیان شده که در این رابطه مقادیر مثبت $Q_{x,s,t}^{BESS}$ و $Q_{x,s,t}^{DG}$ نشان‌دهنده تزریق توان راکتیو به شبکه توسط این منابع می‌باشد. تلفات خطوط به وسیله (۱۱) محاسبه می‌شود. روابط (۱۲) و (۱۳) به ترتیب بیانگر محدودیت شارش جریان خطوط و محدودیت ولتاژ شین‌ها در شبکه می‌باشند.

۴-۳ محدودیت‌های منابع تولید پراکنده

محدودیت توان راکتیو منابع تولید پراکنده عبارت است از

۵-۲ مدل‌سازی عدم قطعیت در تولید توان نیروگاه خورشیدی

برای مدل‌سازی عدم قطعیت انرژی خورشیدی نیز از اطلاعات سایت وانفورد در منطقه داکوتای شمالی استفاده شده است. اطلاعات تاریخی دربرگیرنده تابش خورشید به مدت ۱۰ سال از ماه ژوئن ۲۰۰۱ تا دسامبر ۲۰۰۹ است. با استفاده از ضرایب همبستگی خودی و همبستگی خودی جزئی برای اطلاعات تاریخی سایت وانفورد، سری زمانی ARMA(۲,۱) به عنوان مناسب‌ترین مدل برای این سایت حاصل شده است. رابطه زیر عدم قطعیت انرژی خورشیدی را با استفاده از مدل آرما بیان می‌کند

$$z_t = \varepsilon_t + 0.334344z_{t-1} + 0.313656z_{t-2} + 0.426301z_{t-3} \quad (7)$$

۶-۲ ترکیب و کاهش سناریو

از آنجایی که تولید توان نیروگاه بادی و خورشیدی و بار شبکه مستقل از هم فرض شده‌اند، باید تمامی ترکیب‌های سناریوهای آنها در نظر گرفته شوند. با افزایش تعداد سناریوهای هر پارامتر تصادفی در مسئله، تعداد سناریوهای ترکیبی بسیار زیاد خواهد شد که در نتیجه زمان حل مسئله بسیار طولانی می‌شود. به منظور فائق‌آمدن بر این مسئله، با استفاده از روش کاهش سناریو، تعداد سناریوها کاهش می‌باشد؛ در حالی که خصوصیات اصلی مدل سناریو همچنان حفظ می‌شود. در این مقاله از روش فاصله احتمال کانتروویج برای کاهش حجم محاسباتی مسئله و افزایش سرعت اجرای برنامه استفاده شده است. این روش علاوه بر کاهش حجم محاسباتی و بهبود سرعت انجام آن، دقت مورد نیاز مسئله را تضمین می‌کند. اقدام اولیه برای کاهش سناریوها، حذف سناریوهای نزدیک به هم و سناریوهای با احتمال وقوع کم است. برای این منظور از الگوریتم‌های کاهش سناریو استفاده می‌شود. این الگوریتم‌ها یک زیرمجموعه از سناریوهای تولیدشده را مشخص و احتمالات آنها را محاسبه می‌کنند؛ به طوری که احتمال سناریوی حذف شده به نزدیک‌ترین سناریوی موجود از نظر فاصله احتمالاتی اضافه شود. در این روش، احتمال تمامی سناریوهای حذف شده برابر با صفر در نظر گرفته می‌شوند و احتمال سناریوهای باقیمانده برابر با مجموع احتمالات قبلی و نیز احتمال نزدیک‌ترین سناریوی حذف شده است [۳۲].

۳- فرمول‌بندی مسئله

در این بخش، تابع هدف و قیود مسئله مدیریت توان راکتیو در یک ریزشبکه متصل به شبکه اصلی در حضور منابع انرژی توزیع شده (DER) و با درنظرگرفتن عدم قطعیت در بار شبکه، تولید توان نیروگاه بادی و خورشیدی ارائه شده است.

۱-۳ تابع هدف در حالت اول

تابع هدف در نظر گرفته شده در این حالت شامل کاهش هزینه تلفات شبکه، هزینه توان اکتیو و راکتیو شبکه، هزینه توان اکتیو و راکتیو منابع تولید پراکنده تجدیدپذیر، هزینه شارژ باتری و هزینه توان راکتیو سیستم ذخیره‌ساز انرژی با درنظرگرفتن قیود سیستم می‌باشد. رابطه (۸) نشان‌دهنده کل پرداخت ریزشبکه به شبکه اصلی و صاحبان منابع تولید پراکنده و سیستم‌های ذخیره‌ساز انرژی می‌باشد [۱۷]. در این مقاله فرض شده که ریزشبکه قیمت برق را به عنوان ورودی دریافت می‌کند و تأثیری بر قیمت برق شبکه ندارد. مؤلفه دوم تابع هدف نشان‌دهنده هزینه شارژ بااتری سیستم‌های ذخیره‌ساز انرژی الکتریکی می‌باشد. مؤلفه سوم و چهارم

شارژ باتری توسط (۱۸) به روزرسانی می‌شود. همچنین محدودیت توان راکتیو تولیدی توسط باتری در (۱۹) بیان شده است. در این مقاله بهره‌بردار شبکه توزیع توان راکتیو و راکتیو خروجی باتری را کنترل می‌کند.

۶-۳ هزینه تأمین توان راکتیو

در این مقاله فرض می‌شود اینوورترهایی که منابع تولید پراکنده و سیستم‌های ذخیره‌ساز انرژی را به شبکه متصل می‌کنند دارای ظرفیت توان راکتیو هستند. توان راکتیو جذب شده یا تزریق شده توسط این منابع توسط (۱۴) و (۱۹) محدود شده که در این روابط $S_{\max}^{BESS \text{ or } DG}$ به ترتیب برابر با P_{\max}^{BESS} و P_{\max}^{DG} برای منابع تولید پراکنده و باتری در نظر گرفته شده است. بنابراین هیچ سرمایه‌گذاری اضافی برای مدیریت توان راکتیو توسط این منابع لازم نیست. به منظور برنامه‌ریزی بهینه توان راکتیو در ریزشبکه‌ها باید ابتدا هزینه تأمین توان راکتیو توسط منابع تولید پراکنده و سیستم‌های ذخیره انرژی الکتریکی فرموله شود.

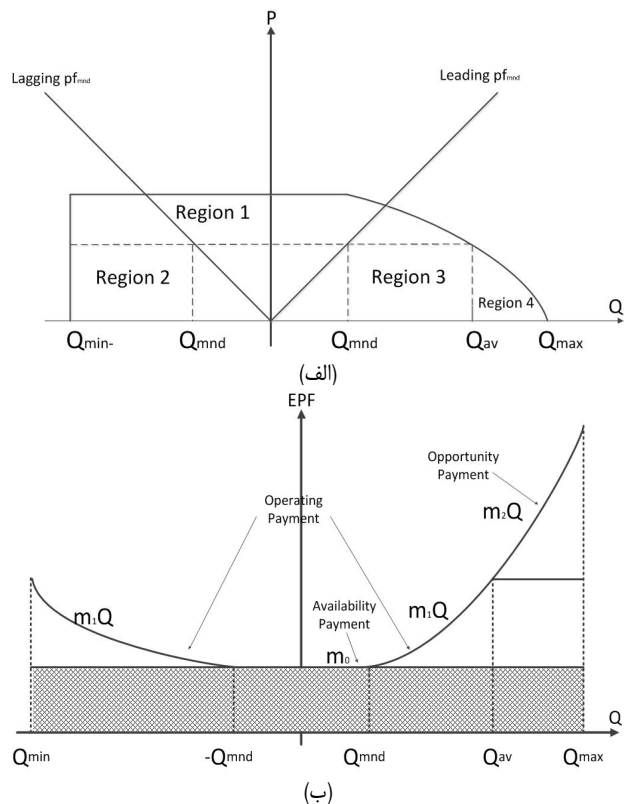
۶-۴ هزینه توان راکتیو منابع تولید پراکنده

هزینه تأمین توان راکتیو توسط منابع تولید پراکنده شامل سه هزینه در دسترس بودن، هزینه تلفات اضافی اینوورتر ناشی از تزریق توان راکتیو و هزینه فرصت از دست رفته است. هزینه فرصت از دست رفته زمانی اتفاق می‌افتد که به دیماند توان راکتیو بیشتری نیاز است؛ بنابراین منابع تولید پراکنده باید توان راکتیو تولید کنند که این کار باعث کاهش تولید پراکنده باشد. بنابراین در این حالت، هزینه‌های تحت عنوان توان راکتیو این منابع می‌شود. بنابراین در ناحیه‌ی این حالت، هزینه‌های تحت عنوان هزینه فرصت از دست رفته باید به آن اختصاص داده شود. مبتنی بر منحنی ظرفیت منابع تولید پراکنده شامل توربین‌های بادی و خورشیدی که در شکل ۲-۱ آمده است، هزینه تزریق توان راکتیو بر حسب میزان تزریق به چهار ناحیه قابل تقسیم است [۳۴]: ناحیه یک ($-Q_{mnd}$ to Q_{mnd})، ناحیه دو (Q_{mnd} to Q^{av})، ناحیه سه (Q^{av} to Q_{\max}) و ناحیه چهار (Q_{\max} to Q_{\min}). در ناحیه یک هزینه تزریق توان راکتیو توسط منابع تولید پراکنده فقط شامل هزینه در دسترس بودن واحد است. در ناحیه دو و سه، هزینه تزریق توان راکتیو شامل هزینه در دسترس بودن و هزینه تلفات اضافی به دلیل تزریق توان راکتیو می‌باشد. در ناحیه چهار تابع پرداخت توان راکتیو منابع تولید پراکنده شامل هر سه هزینه در دسترس بودن، هزینه تلفات اضافی و هزینه فرصت از دست رفته می‌باشد. ماکسیمم توان راکتیو تولیدی توسط منابع تولید پراکنده شامل نیروگاه‌های بادی و خورشیدی در (۲۰) آمده است. رابطه (۲۱) بیانگر منحنی ظرفیت منابع تولید پراکنده می‌باشد. مبتنی بر دسته‌بندی ارائه شده برای هزینه تأمین توان راکتیو توسط منابع تولید پراکنده، تابع پرداخت توان راکتیو (QPF) این منابع در این نواحی در (۲۲) نشان داده شده است

$$Q = \sqrt{(V_t I_c)^* - (P^{w,pv})^*} = \sqrt{\left(\frac{V_t V_c}{X_c}\right)^* - (P^{w,pv})^*} - \frac{V_t^*}{X_c} \quad (20)$$

$$QPF =$$

$$\begin{cases} m_1 & , -Q_{mnd} \leq Q_i^{w,pv} \leq Q_{mnd} \\ \frac{1}{2} m_1 ((Q_i)^* - (Q_{mnd})^*) & , Q_i \leq Q_i^{w,pv} \leq -Q_{mnd} \\ \frac{1}{2} m_1 ((Q_i)^* - (Q_{mnd})^*) & , Q_{mnd} \leq Q_i^{w,pv} \leq Q_i \\ \frac{1}{2} m_1 ((Q_{av})^* - (Q_{mnd})^*) + \frac{1}{2} m_1 ((Q_i)^* - (Q_{av})^*) & , Q_{mnd} \leq Q_i^{w,pv} \leq Q_{av}, Q_{av} \leq Q_i^{w,pv} \leq Q_i \end{cases} \quad (21)$$



شکل ۲: (الف) منحنی ظرفیت منابع تولید پراکنده و (ب) ساختار پرداخت توان راکتیو.

$$|Q_{x,s,t}^{DG}| \leq Q_{\lim,t}^{DG} = \sqrt{(S_{\max}^{DG})^* - (P_{x,s,t}^{DG})^*} \quad (14)$$

که $Q_{\lim,t}^{DG}$ محدودیت تولید توان راکتیو بدون کاهش توان راکتیو خروجی منابع تولید پراکنده را نشان می‌دهد. در این مقاله ۷۰٪ سطح اطمینان برای منابع تولید پراکنده در نظر گرفته شده تا مالک منابع تولید پراکنده مطمئن باشد که فرصت تولید توان راکتیو را به دلیل ارائه توان راکتیو از $Q_{x,s,t}^{DG}$ دست نمی‌دهد [۳۳]. همچنین در مواردی که به سطح بالاتری از $Q_{x,s,t}^{DG}$ نیاز است، این محدودیت می‌تواند به صورت زیر بیان شود

$$|Q_{x,s,t}^{DG}| \leq \sqrt{(S_{\max}^{DG})^* - (P_{x,s,t}^{DG,inloss})^*} \quad (15)$$

در این موارد، بهره‌بردار شبکه توزیع باید هزینه‌های تحت عنوان هزینه فرصت از دست رفته را به مالک منابع تولید پراکنده پرداخت کند که در بخش ۳-۶ توضیحات بیشتری در مورد این هزینه بیان خواهد شد.

۵-۳ محدودیت‌های سیستم ذخیره‌ساز انرژی

توان شارژ و دشارژ باتری با حداکثر و حداقل توان شارژ و دشارژ باتری محدود می‌شود. حالت شارژ باتری نیز باید در محدوده مشخصی قرار داشته باشد. حالت شارژ باتری با توجه به معادلات زیر به روز می‌شود

$$P_{\min}^{BESS} \leq P_{x,s,t}^{BESS} \leq P_{\max}^{BESS} \quad (16)$$

$$SOC_{\min} \leq SOC_{x,s,t} \leq SOC_{\max} \quad (17)$$

$$SOC_{(x,s,t+1)} = SOC_{(x,s,t)} + [\delta_{(x,s,t)}^{CH} \eta^{CH} P_{(x,s,t)}^{BESS} + \delta_{(x,s,t)}^{DCH} (\eta^{DCH})^{(-1)} P_{(x,s,t)}^{BESS}] \frac{H}{(E_x^{BESS})} \quad (18)$$

$$|Q_{x,s,t}^{BESS}| \leq \sqrt{(S_{\max}^{BESS})^* - (P_{x,s,t}^{BESS})^*} \quad (19)$$

رابطه (۱۶) بیانگر محدودیت توان شارژ و دشارژ باتری می‌باشد. محدودیت نرخ شارژ باتری (SOC) در (۱۷) نشان داده شده است. نرخ

که در رابطه بالا، t' نشان‌دهنده طول دوره شروع روز تا دوره t است. در این مقاله به دلیل آن که بهره‌بردار شبکه توزیع توان اکتیو و راکتیو با تری را تعیین می‌کند، هیچ هزینه فرست ازدست‌رفته‌ای برای با تری در نظر گرفته نمی‌شود. درنظرگرفتن هزینه فرست ازدست‌رفته برای با تری استفاده از با تری بستگی دارد. مثلاً هزینه فرست ازدست‌رفته برای با تری هنگامی که با تری برای تنظیم فرکانس استفاده می‌شود متفاوت خواهد بود با زمانی که با تری برای آربیتری ارزی استفاده می‌شود.

۴- محاسبات پخش بار

یکی از مهم‌ترین بخش‌های طراحی سیستم توزیع ارزیابی شبکه از طریق محاسبات پخش بار و به دست‌آوردن ولتاژها شین‌ها، جریان شاخه‌ها و تلفات شبکه می‌باشد. در این مقاله برای مدل‌سازی معادلات پخش بار از مدل تزریق شین استفاده می‌گردد [۳۶]. معادلات پخش بار عموماً به صورت زیر بیان می‌شوند

$$V_i - V_j = z_{ij} I_{ij}, \quad \forall (i, j) \in E \quad (۳۴)$$

$$S_{ij} = V_i I_{ij}^*, \quad \forall (i, j) \in E \quad (۳۵)$$

$$\sum_{(i,j) \in E} S_{ij} - \sum_{(k,i) \in E} (S_{ki} - z_{ki} |I_{ki}|^*) + y_i^* |V_i|^* = S_i, \quad \forall i \in N \quad (۳۶)$$

رابطه (۳۶) بیان‌گر قانون اهم است و شارش توان شاخه‌ها به وسیله (۳۵) محاسبه می‌شود. همچنین (۳۶) بیان‌گر قید تعادل توان بر تمام شین‌های شبکه است. با حذف زاویه فاز و ولتاژها و جریان‌ها از روابط فوق، معادلات پخش بار به صورت زیر به دست می‌آیند

$$PG_i - PD_i = \sum_{\substack{(i,j) \in E \\ \forall i \in N}} P_{ij} - \sum_{(k,i) \in E} (P_{ki} - r_{ki} |I_{ki}|^*) \quad (۳۷)$$

$$QG_i - QD_i = \sum_{\substack{(i,j) \in E \\ \forall i \in N}} Q_{ij} - \sum_{(k,i) \in E} (Q_{ki} - x_{ki} |I_{ki}|^*) \quad (۳۸)$$

$$v_j = v_i - 2(r_{ij} P_{ij} + x_{ij} Q_{ij}) + (r_{ij}^* + x_{ij}^*) l_{ij}, \quad \forall (i, j) \in E \quad (۳۹)$$

$$l_{ij} = \frac{P_{ij}^* + Q_{ij}^*}{v_i}, \quad \forall (i, j) \in E \quad (۴۰)$$

روابط بالا بیان‌گر معادلات پخش بار در شبکه توزیع هستند. با درنظرگرفتن قید غیرخطی (۴۰)، مدل پیشنهادی یک مدل غیرمحبب است. برای ساختن یک مدل محبب، قید (۴۰) به صورت زیر در نظر گرفته می‌شود

$$l_{ij} \geq \frac{P_{ij}^* + Q_{ij}^*}{v_i}, \quad \forall (i, j) \in E \quad (۴۱)$$

با درنظرگرفتن قید (۴۱) به جای قید غیرخطی (۴۰)، مدل محبب برای پخش بار شبکه توزیع به دست می‌آید.

۵- خطی‌سازی مدل پیشنهادی

تابع پرداخت هزینه توان راکتیو توسط منابع تولید پراکنده و سیستم‌های ذخیره‌ساز انرژی به دلیل داشتن متغیر درجه دوم، ضرب متغیر با تری در متغیر پیوسته و ضرب دو متغیر پیوسته غیرخطی هستند. برای خطی‌سازی متغیر درجه دوم در توابع پرداخت منابع تولید پراکنده و سیستم‌های ذخیره‌ساز انرژی از روش خطی‌سازی تکه‌ای خطی استفاده می‌شود [۳۷]. روابط (۴۲) تا (۴۶) بیان‌گر روش پیشنهادی برای خطی‌سازی متغیر درجه دوم Q هستند

$$\begin{aligned} QPF &= Z_m + Z_r \frac{1}{2} m_1 ((Q_1)^* - (Q_{mnd})^*) + \\ &Z_r \frac{1}{2} m_1 ((Q_r)^* - (Q_{mnd})^*) + \\ &Z_r [(\frac{1}{2} m_1 ((Q_{av})^* - (Q_{mnd})^*) + \frac{1}{2} m_r ((Q_r)^* - (Q_{av})^*))] \end{aligned} \quad (۴۲)$$

که در رابطه بالا، Z_1 ، Z_r و Z_{av} متغیرهای باینری تعیین‌کننده ناحیه عملکرد منابع تولید پراکنده می‌باشند. اگر واحد در ناحیه یک عمل کند در این صورت $Z_1 = Z_r = Z_{av} = 1$ و $Z_r = Z_{av} = 0$ ، در ناحیه سه $Z_1 = Z_r = Z_{av} = 0$ و در ناحیه چهار $Z_1 = Z_r = Z_{av} = 1$ و $Z_r = Z_{av} = 0$ هستند. تابع پرداخت توان راکتیو تولیدشده توسط منابع تولید پراکنده در شکل ۲-۲ ب آمده است. محدودیت‌های مساوی و نامساوی منابع تولید پراکنده عبارتند از

$$Z_1, Z_r, Z_{av}, Z_{av} \in \{0, 1\} \quad (۴۳)$$

$$-Z_r Q_{mnd}^{w,pv} \leq Q_r^{w,pv} \leq Z_r Q_{mnd}^{w,pv} \quad (۴۴)$$

$$Z_r Q_{mnd}^{w,pv} \leq Q_1^{w,pv} \leq -Z_r Q_{mnd}^{w,pv} \quad (۴۵)$$

$$Z_r Q_{mnd}^{w,pv} \leq Q_r^{w,pv} \leq Z_r Q_{av}^{w,pv} \quad (۴۶)$$

$$Z_r Q_{av}^{w,pv} \leq Q_r^{w,pv} \leq Z_r Q_{max}^{w,pv} \quad (۴۷)$$

$$Q_{mnd}^{w,pv} = P^{w,pv} \tan(\cos^{-1}(pf_{mnd})) \quad (۴۸)$$

$$Q^{w,pv} = Q_1^{w,pv} + Q_r^{w,pv} + Q_{av}^{w,pv} + Q_{max}^{w,pv} \quad (۴۹)$$

$$Z_1 + Z_r + Z_{av} \leq Z \quad (۴۰)$$

۳-۶-۲- هزینه توان راکتیو سیستم‌های ذخیره‌ساز انرژی

هزینه تأمین توان راکتیو توسط سیستم‌های ذخیره انرژی الکتریکی شامل هزینه تلفات اضافی ناشی از تزریق توان راکتیو است که باید توسط ریزشبکه به مالک این منابع پرداخت شود.

تلفات اضافی اینورتر با تری به صورت تقریبی عبارت است از [۳۵]

$$P^{invloss} = C_{self} + C_V S + C_R S^r \quad (۴۱)$$

تلفات اضافی اینورتر به دلیل تزریق توان راکتیو است و بنابراین

$$\begin{aligned} \Delta P_{s,x,t}^{B,invloss} &= \\ \left\{ \begin{array}{l} C_V (S_{s,x,t}^B - P_{s,x,t}^B) + C_R ((S_{s,x,t}^B)^* - (P_{s,x,t}^B)^*), P_{s,x,t}^B \neq 0 \\ C_{self} + C_V Q_{s,x,t}^B + C_R (Q_{s,x,t}^B)^* \end{array} \right. , P_{s,x,t}^B = 0 \end{aligned} \quad (۴۲)$$

برای با تری هنگامی که $P_{s,x,t}^B \neq 0$ است، تلفات اضافی ناشی از تزریق توان راکتیو، توان شارژ و دشارژ را کاهش می‌دهد، یعنی $\Delta P_{s,x,t}^{B,invloss}$ توان خریداری شده از شبکه و یا توان فروخته شده به شبکه را کاهش می‌دهد و بنابراین $C_{s,x,t}^{QBESS}$ با قیمت برق در یک دوره مرتبط است. همچنین هنگامی که $P_{s,x,t}^B = 0$ است، تلفات اضافی ناشی از تزریق توان راکتیو، نرخ شارژ با تری (SOC) را کاهش می‌دهد. این هزینه مرتبط است با میانگین هزینه قیمت برق خریداری شده برای شارژ با تری. بنابراین هزینه تلفات اضافی ناشی از تزریق توان راکتیو در با تری به صورت زیر است

$$\begin{cases} C_t^{Pgrid} \times \Delta P_{s,x,t}^{B,invloss} & , P_{x,s,t}^B \neq 0 \\ \sum_{t'=1}^t \delta_{x,s,t'}^{CH} P_{x,s,t'}^B \times C_{t'}^{Pgrid} \times \Delta P_{s,x,t}^{B,invloss} & , P_{x,s,t}^B = 0 \end{cases} \quad (۴۳)$$

$$W_{x,s,t'}^B \geq P_{x,s,t'}^B + M(\delta_{x,s,t'}^{CH} - 1) \quad (56)$$

$\Delta P_{x,s,t}^{B,inloss}$ در مرحله بعد ضرب ۲ متغیر پیوسته $W_{x,s,t'}^B \times C_t^{Pgrid}$ با استفاده از (۵۰) تا (۵۲) خطی شده است.

۶- مطالعات عددی

در این بخش نتایج عددی بر روی دو شبکه استاندارد ۳۳ و ۳۶ IEEE ارائه می‌شود. در ادامه، ابتدا مدیریت توان راکتیو در یک ریز شبکه متصل به شبکه اصلی با حضور تجهیزات جبران‌کننده توان راکتیو پیوسته شامل منابع تولید پراکنده (نیروگاه بادی و خورشیدی) و سیستم‌های ذخیره‌ساز انرژی و با درنظرگرفتن عدم قطعیت در تولید توان بادی و خورشیدی و بار شبکه و همچنین مدل‌سازی هزینه تأمین توان راکتیو توسط این توطیقیات با تجهیزات، انجام شده و سپس مدیریت توان راکتیو توسط این تجهیزات با تجهیزات جبران‌کننده توان راکتیو گستته شامل بانک‌های خازنی مقایسه گردیده است.

۶-۱ تولید سناریو

به منظور مدل کردن عدم قطعیت برای بار شبکه ابتدا با استفاده از روش تابع توزیع نرمال، ۴۰۰ سناریو تولید شد و سپس با استفاده از روش کاهش سناریو، تعداد سناریوها به ۵ سناریو کاهش یافت. برای مدل‌سازی عدم قطعیت مربوط به انرژی حاصل از باد با استفاده از روش سری زمانی آرما در ابتدا حدود ۴۰۰ سناریو در نظر گرفته شد که پس از اعمال روش کاهش سناریوی کانترویوچ، تعداد سناریوها به ۵ سناریو کاهش یافت. همچنین برای انرژی حاصل از خورشید نیز ۲۰۰ سناریو با استفاده از روش سری زمانی آرما تولید گردید و سپس به تعداد ۲ سناریو کاهش یافت. باید توجه نمود که تعداد کل سناریوها برابر با حاصل ضرب تعداد سناریوهای همچنین احتمال هر سناریو برابر با حاصل ضرب احتمال سناریوهای کاهش یافته بار در احتمال سناریوهای باد و خورشید است و مجموع آن برابر با یک خواهد بود.

۶-۲ شبکه تست ۳۳

در این بخش برای نشان‌دادن کارایی و عملکرد روش پیشنهادی از شبکه ۳۳ IEEE برای پیاده‌سازی روش پیشنهادی استفاده گردیده است. مقدار تقاضای توان راکتیو و راکتیو این سیستم در شرایط نامی به ترتیب برابر ۳۷۱۵ کیلووات و ۲۳۰۰ کیلووار می‌باشد. اطلاعات مربوط به خطوط و بارهای این سیستم در [۳۸] آمده است. با اعمال پخش بار روی این شبکه، مجموع تلفات توان راکتیو در حالت اولیه ۲۱۰۹۹۸ کیلووات و مجموع تلفات توان راکتیو ۱۴۳۰۲۲ کیلووار خواهد شد. کمترین ولتاژ در شین ۱۸ مشاهده می‌شود و مقدار آن ۰۹۰۳۷۷ پریونیت است. برای انجام مطالعه، فرض بر این است که یک نیروگاه بادی با ظرفیت ۷۷۵ کیلووات در شین ۲۵ و چهار نیروگاه خورشیدی در شین‌های ۱۷، ۲۵، ۲۶ و ۳۲ نصب گردیده که اطلاعات آنها در جدول ۱ آمده است [۳۹]. همچنین دو منع ذخیره‌ساز انرژی با ظرفیت ۵۰۰ کیلووات در شین‌های ۷ و ۲۳ نصب شده است.

۶-۲-۱ پارامترهای هزینه

قیمت بازار برق عمده‌فروشی سنگاپور در تاریخ ۲۶ فوریه ۲۰۱۵ می‌باشد [۴۰]. هزینه شارژ توان راکتیو در بازار سنگاپور برای مصرف کنندگانی با ولتاژ ۲۲ کیلوولت یا ۶۶ کیلوولت است [۴۱]. هزینه شارژ توان راکتیو برای مصرف کنندگانی که مصرف توان راکتیو آنها

جدول ۱: اطلاعات منابع تولید پراکنده مبتنی بر توان خورشیدی.

شماره	توان راکتیو (kW)	گره	توان خورشیدی (kVAr)
۱	۴۰۰	۱۷	۲۵۰
۲	۴۵۰	۲۵	۲۵۰
۳	۴۰۰	۲۶	۲۵۰
۴	۴۵۰	۳۳	۲۵۰

$$Q^* = \sum_{l=1}^L (2I - 1) \frac{Q_l^{\max}}{L} \Delta Q_l \quad (42)$$

$$Q = Q^{(+)} - Q^{(-)} \quad (43)$$

$$Q^{(+)} \geq 0 \quad (44)$$

$$Q^{(-)} \geq 0 \quad (45)$$

$$Q^{(+)} + Q^{(-)} = \sum_{l=1}^L \Delta Q_l \quad (46)$$

برای خطی‌سازی متغیرهای درجه دوم Q_1^* ، Q_2^* و Q_3^* در (۲۲) و متغیرهای درجه دوم $(P_{x,t}^B)$ و $(Q_{x,t}^B)$ در (۳۲) از روابط بالا استفاده شده است. در (۴۲)، متغیر درجه دوم (Q^*) با استفاده از تقریب خطی تکه‌ای خطی با درنظرگرفتن L تکه، خطی می‌شود. رابطه (۴۳) بیانگر آن است که متغیر غیرخطی Q به دو متغیر روبه‌جلو و متغیر جایان معکوس تقسیم می‌شود. قابل ذکر است که این متغیرها همان طور که در (۴۴) نشان داده شده است مثبت و غیرصفر هستند.

برای خطی‌سازی ضرب متغیر باینری z در متغیر پیوسته x از تغییر متغیر $w = x \times z$ استفاده گردیده و به سبب آن، محدودیت‌های زیر به مدل اصلی اضافه می‌شود.

$$w \leq M \times z \quad (47)$$

$$w \leq x \quad (48)$$

$$w \geq x + M(z - 1) \quad (49)$$

در روابط بالا M عددی بسیار بزرگ است. همچنین برای خطی‌سازی ضرب دو متغیر پیوسته x_i و x_j از تغییر متغیر $y = x_i \times x_j$ استفاده شده است. روابط (۵۰) تا (۵۲) بیانگر روش پیشنهادی برای خطی‌سازی ضرب دو متغیر پیوسته هستند

$$z_i = \frac{1}{2}(x_i + x_r) \quad (50)$$

$$z_r = \frac{1}{2}(x_i - x_r) \quad (51)$$

$$y = z_i^* - z_r^* \quad (52)$$

در (۵۲) برای خطی‌سازی دو متغیر درجه دوم z_i و z_r از روش تقریب تکه‌ای خطی توضیح داده شده در بالا استفاده گردیده است. در (۳۳) ضرب متغیر باینری $\delta_{x,s,t'}^{CH}$ در متغیر پیوسته $P_{x,s,t'}^B$ با استفاده از روابط بالا خطی شده و محدودیت‌های زیر به مدل اصلی اضافه می‌شود

$$\delta_{x,s,t'}^{CH} \times P_{x,s,t'}^B = W_{x,s,t'}^B \quad (53)$$

$$W_{x,s,t'}^B \leq M \times \delta_{x,s,t'}^{CH} \quad (54)$$

$$W_{x,s,t'}^B \leq P_{x,s,t'}^B \quad (55)$$

جدول ۳: میانگین ولتاژ و تلفات شبکه در هر ساعت.

	میانگین ولتاژ (kV)	میانگین تلفات شبکه (kW)
۱	۴۲,۱۵۴۲۹	۰,۹۱۴۰۱۲
۲	۳۳,۳۱۰۵۷	۰,۹۱۶۷۷۸
۳	۲۳,۹۸۸۲۶	۰,۹۵۱۵۴
۴	۳۹,۹۴۴۶۲	۰,۹۱۰۹
۵	۳۸,۳۹۰۷۲	۰,۸۹۶۰۲۶
۶	۴۱,۸۹۴۵	۰,۸۷۶۲۳
۷	۳۲,۷۴۴۳۴	۰,۹۰۹۴۱۸
۸	۲۹,۸۹۱۲۸	۰,۹۱۹۷۴۱
۹	۲۶,۳۱۲۹۵	۰,۹۳۳۵۸۱
۱۰	۱۹,۹۸۶۸۴	۰,۹۵۳۳۸۴
۱۱	۲۳,۳۵۶۵	۰,۹۶۱۴۴
۱۲	۲۸,۷۱۳۰۳	۰,۹۵۳۶۱۷
۱۳	۲۸,۲۹۲۶	۰,۹۵۴۳۱۹
۱۴	۲۱,۸۸۳۲۳	۰,۹۷۵۵۹۳
۱۵	۲۴,۸۶۵۳۵	۰,۹۸۰۵۰۹
۱۶	۲۳,۸۵۶۶۹	۰,۹۶۱۶۸۱
۱۷	۲۹,۴۸۲۴۴	۰,۹۲۷۱۰۶
۱۸	۲۹,۶۲۷۸	۰,۹۴۴۵۶۴
۱۹	۳۰,۶۷۳۸۹	۰,۹۳۶۰۴۲
۲۰	۳۱,۸۳۰۴۳	۰,۹۳۵۳۲۴
۲۱	۲۶,۳۹۵۵۳	۰,۹۳۴۲۱۹
۲۲	۳۴,۱۵۱۵۹	۰,۹۱۳۴۶۷
۲۳	۳۷,۰۱۴۳۴	۰,۹۰۱۶۲۸
۲۴	۳۷,۱۰۵۱۷	۰,۹۱۸۵۹
هزینه کل بهره‌برداری		۳۹۵۶,۱۶۲۰۹

یک از ساعت‌های شباهه روز در جدول ۲ نشان داده شده است.

۶-۳-۲ حل مسئله در حالت دوم برای شبکه ۳۳-شینه

در این بخش مدیریت توان راکتیو با استفاده از خازن‌های قابل کلیدزنی انجام شده است. برای انجام مطالعه در این حالت فرض گردیده که ۳ خازن قابل کلیدزنی در شین‌های ۰۵، ۳۰ و ۳۲ نصب شده است. در این مقاله، تعداد پله‌های در نظر گرفته شده برای خازن‌های قابل کلیدزنی ۱۰ پله و ظرفیت هر پله ۱۰۰ kVAr می‌باشد. میانگین ولتاژ و تلفات شبکه در هر ساعت در جدول ۳ نشان داده شده است.

برای مقایسه بهتر نتایج، میانگین تلفات شبکه در هر ساعت در دو حالت جبران توان راکتیو توسط منابع انرژی توزیع شده (DER) و خازن‌های قابل کلیدزنی در شکل ۳ ترسیم شده است. همچنین مجموع توان راکتیو تزریقی توسط منابع انرژی توزیع شده و خازن‌های قابل کلیدزنی در شکل ۴ آمده است. نتایج ارائه شده نشان‌دهنده این موضوع است که جبران توان راکتیو توسط منابع انرژی توزیع شده از لحاظ فنی عملکرد بهتری داشته و موجب بهبود عملکرد شبکه و کاهش تلفات بیشتری در مقایسه با خازن‌های قابل کلیدزنی شده است. دلیل این امر آن می‌باشد که مطابق شکل ۵ در حالت جبران توان راکتیو توسط منابع انرژی توزیع شده، توان راکتیو تزریقی به شبکه بالا دست نسبت به حالت جبران توان راکتیو توسط خازن‌های قابل کلیدزنی مقدار کمتری داشته و در حالت خازن‌ها در تمام ساعتها توان راکتیو به شبکه بالا دست تزریق گردیده که این امر باعث افزایش تلفات شبکه در حالت خازن‌ها می‌شود. از لحاظ اقتصادی جبران توان راکتیو توسط خازن‌های قابل کلیدزنی

جدول ۲: میانگین ولتاژ و تلفات شبکه در هر ساعت.

	میانگین ولتاژ (kV)	میانگین تلفات شبکه (kW)
۱	۴۱,۹۱۵۸۶۸۱	۰,۹۱۸۷۷۸۶۴
۲	۳۲,۹۶۷۳۳۸۹۳	۰,۹۱۸۱۳۸۲۸۹
۳	۱۱,۷۳۷۷۲۹۸	۰,۹۴۷۸۶۵۷۶۸
۴	۲۹,۹۸۰۵۶۰۶۱	۰,۹۱۵۳۰۵۱۳
۵	۳۰,۳۶۳۴۷۲۰۵	۰,۹۰۳۶۷۹۴۶۷
۶	۳۳,۸۸۱۸۰۹۱۷	۰,۸۸۴۴۲۱۲۹
۷	۲۳,۸۷۹۶۴۶۴۱	۰,۹۰۸۷۳۷۹۶
۸	۲۰,۳۱۲۵۳۹۱۲	۰,۹۱۹۲۲۷۱۹۴
۹	۱۵,۷۰۴۶۰۸۷۵	۰,۹۳۲۵۰۲۸۵
۱۰	۱۱,۲۸۳۴۴۳۴۷	۰,۹۵۲۴۰۸۱۹۳
۱۱	۱۳,۲۵۳۸۵۲۳۵	۰,۹۶۳۷۲۳۳۳
۱۲	۱۷,۸۸۵۸۹۳۴	۰,۹۴۷۱۵۰۵۲۱
۱۳	۱۹,۹۴۲۴۳۹۶۸	۰,۹۵۵۶۹۹۳۹۱
۱۴	۱۱,۹۳۸۳۴۶۶	۰,۹۷۵۹۴۶۴۱۳
۱۵	۱۳,۹۵۷۸۶۳۸۴	۰,۹۶۹۹۶۶۱۰۳
۱۶	۱۳,۹۱۳۸۳۷۵۱	۰,۹۶۰۹۰۲۱۱۸
۱۷	۲۰,۴۲۴۵۹۳۷۶	۰,۹۲۶۰۴۸۰۷۴
۱۸	۱۹,۸۲۸۲۹۴۰۲	۰,۹۴۳۴۳۷۷۲
۱۹	۲۱,۴۶۸۲۱۹۵۱	۰,۹۳۵۲۶۷۸۹
۲۰	۲۶,۱۹۲۸۲۷	۰,۹۳۶۹۶۰۵۸
۲۱	۱۶,۲۶۸۳۲۲۰۲	۰,۹۳۵۴۱۴۱۷
۲۲	۲۶,۴۹۳۵۹۸۸۴	۰,۹۱۲۹۶۱۶۸
۲۳	۲۷,۷۸۹۴۹۳۸۵	۰,۸۹۱۳۵۷۱۶۴
۲۴	۲۸,۷۳۵۶۲۸۴۵	۰,۹۱۸۰۱۰۹۹۳
هزینه کل		۴۳۱۵,۳۹۰۰۵۵

۶۲ درصد بالاتر از مصرف توان اکتیو است c_{PDG} cents SGD/kVArh می‌باشد. میانگین هزینه توان اکتیو شبکه (c_e^{grid}) در نظر گرفته شده که برابر است با $10,97$ cents SGD/kVArh مقدابر C_R و C_V و C_{self} برای اینورتر با تری ۵۰۰ کیلووات از اطلاعات [۳۵] استفاده شده است. همچنین هزینه بهره‌برداری خازن‌ها برابر با $0,3$ cents SGD/kVArh در نظر گرفته شده است [۴۲]. در ادامه، ابتدا برای این شبکه، مدیریت توان راکتیو در یک ریز شبکه با درنظر گرفتن منابع تولید پراکنده و سیستم‌های ذخیره‌ساز انرژی به عنوان تجهیزات جبران‌کننده توان راکتیو پیوسته انجام می‌شود. سپس در حالت بعدی فرض می‌گردد که منابع تولید پراکنده و سیستم‌های ذخیره‌ساز انرژی، قابلیت تولید توان راکتیو را نداشته و از خازن‌های قابل کلیدزنی به عنوان تجهیزات جبران‌کننده توان راکتیو گستته استفاده خواهد شد. در نهایت با انجام تحلیل حساسیت به بررسی تأثیر تغییرات هزینه توان اکتیو شبکه، تغییرات بار شبکه، تغییرات تعداد پله‌های خازن‌های قابل کلیدزنی و تغییرات هزینه توان راکتیو منابع تولید پراکنده بر روی هزینه کل، تلفات توزیع شده (DER) و خازن‌های قابل کلیدزنی خواهیم پرداخت.

۶-۲-۲ حل مسئله در حالت اول برای شبکه ۳۳-شینه

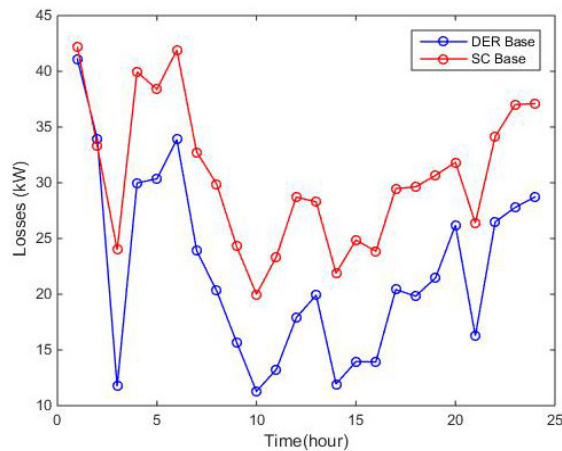
در این حالت مسئله مدیریت توان راکتیو در حضور نیروگاه بادی و خورشیدی و سیستم‌های ذخیره‌ساز انرژی و با درنظر گرفتن عدم قطعیت در بار شبکه و تولید توان نیروگاه بادی و خورشیدی بر روی شبکه IEEE ۳۳-شینه می‌شود. میانگین تلفات و ولتاژ شبکه در هر دو حالت جبران توان راکتیو توسط منابع انرژی

جدول ۴: میانگین ولتاژ و تلفات شبکه در هر ساعت.

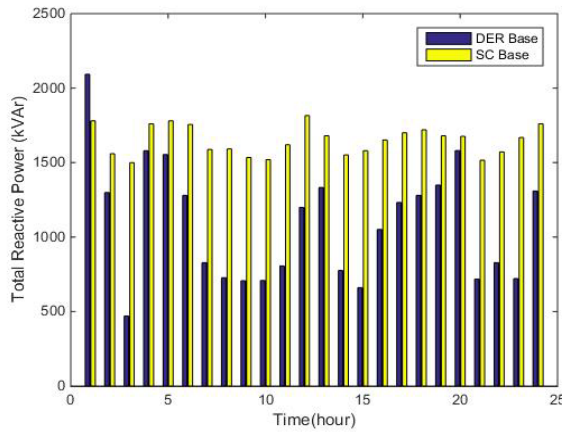
	میانگین ولتاژ	میانگین تلفات شبکه (kW)
۱	۲۹,۷۲۱۴۳	۰,۹۰۷۶۱
۲	۲۶,۲۰۴۷۵	۰,۹۰۷۰۲۷
۳	۱۳,۳۰۹۸۵	۰,۹۵۱۹۹
۴	۲۴,۶۹۰۱۶	۰,۹۱۳۰۷۷
۵	۲۷,۳۷۸۹۴	۰,۸۹۲۹۳۴
۶	۳۱,۳۳۲۷۴	۰,۸۴۵۲
۷	۲۳,۹۶۸۲۵	۰,۹۰۳۸۵۹
۸	۲۰,۶۰۲۵۴	۰,۹۱۷۰۰۱
۹	۱۶,۱۶۵۴۸	۰,۹۳۰۸۳۵
۱۰	۱۱,۴۰۶۸۹	۰,۹۴۸۹۷۱
۱۱	۱۳,۲۱۷۹۳	۰,۹۶۱۳۸۸
۱۲	۱۶,۳۱۲۴۱	۰,۹۴۷۸۴۱
۱۳	۱۷,۰۱۷۵۸	۰,۹۵۴۳۹۴
۱۴	۱۲,۰۰۸۴۴	۰,۹۷۲۵۰۴
۱۵	۱۳,۹۵۱۹۲	۰,۹۷۵۷۵۹
۱۶	۱۲,۱۴۷۵۷	۰,۹۵۶۹۴۱
۱۷	۱۸,۵۸۹۰۷	۰,۹۲۲۷۷۲
۱۸	۱۷,۷۷۹۹۹	۰,۹۳۴۹۴۳
۱۹	۱۷,۴۶۱۱۵	۰,۹۳۱۳۰۶
۲۰	۱۹,۳۳۰۱۳	۰,۹۳۰۹۵۸
۲۱	۱۶,۷۳۹۹۲	۰,۹۳۱۱۲۳
۲۲	۲۶,۴۰۰۰۴	۰,۹۱۰۷۱۹
۲۳	۲۷,۸۳۲۴۹	۰,۸۹۶۸۶۹
۲۴	۲۵,۳۱۴۳۹	۰,۹۱۲۰۳۱
هزینه کل بهرهبرداری		۳۹۸۰,۹۹۴۷۹

۶-۴ مقایسه حل مسئله در حالت اول با حالت دوم برای شبکه ششیمه

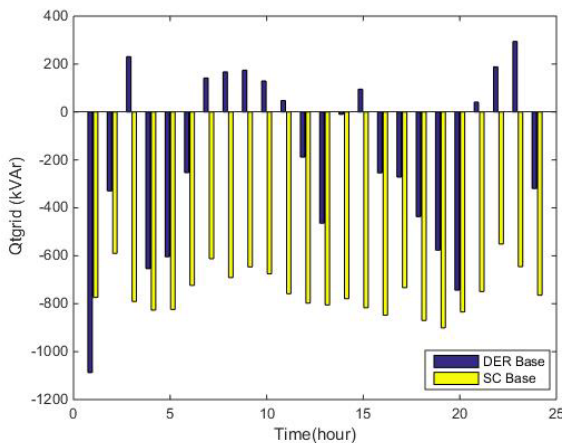
برای مقایسه دقیق‌تر دو حالت در نظر گرفته شده در این مقاله یعنی مدیریت توان راکتیو با استفاده از منابع انرژی توزیع شده و مدیریت توان راکتیو با استفاده از خازن‌های قابل کلیدزنی، در این قسمت مجموع توان راکتیو توزیع شده توسط منابع انرژی توزیع شده در تمام ساعت‌ها به عنوان حداقل توان راکتیو خازن‌های قابل کلیدزنی در نظر گرفته شده و سپس مسئله مدیریت توان راکتیو با استفاده از خازن‌های قابل کلیدزنی پیاده‌سازی شده است. مجموع توان راکتیو توزیع شده توسط منابع انرژی توزیع شده برابر است با ۲۶۰۹۰ کیلووار؛ بنابراین در این قسمت برای مقایسه دقیق‌تر، تعداد ۲۶۱ پله ۱۰۰ کیلوواری برای خازن‌های قابل کلیدزنی در تمام ساعت‌ها در نظر گرفته شده است. میانگین ولتاژ و تلفات شبکه در هر ساعت برای این حالت در جدول ۴ نشان داده شده است. نتایج ارائه شده در شکل‌های ۶ تا ۸ تا ۸ نشان‌دهنده این موضوع می‌باشد که در این حالت، خازن‌های قابل کلیدزنی توان راکتیو کمتری به شبکه در الادست توزیع کرده و در نتیجه تلفات کمتری نسبت به حالت قبل دارد. در این حالت هزینه فروش توان راکتیو به شبکه بالادست برای هر دو حالت منابع انرژی توزیع شده و خازن‌ها یکسان می‌باشد و دلیل کمتری داردن هزینه کل بهره‌برداری شبکه در حالت خازن‌ها نسبت به منابع انرژی توزیع شده، کمتری دارند هزینه توان راکتیو خازن‌ها در مقایسه با هزینه توان راکتیو منابع انرژی توزیع شده می‌باشد.



شکل ۳: میانگین تلفات در هر ساعت در دو حالت DER و SC.

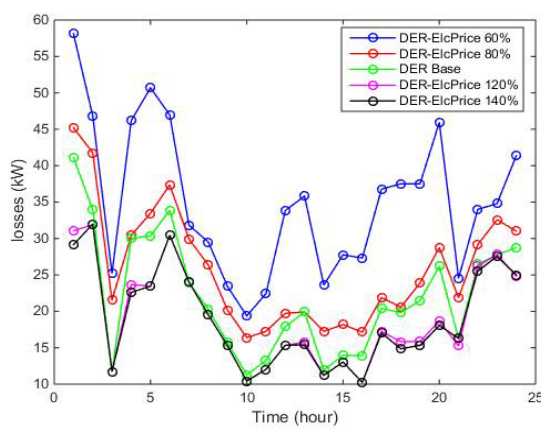


شکل ۴: مجموع توان راکتیو توزیعی در دو حالت DER و SC در هر ساعت.

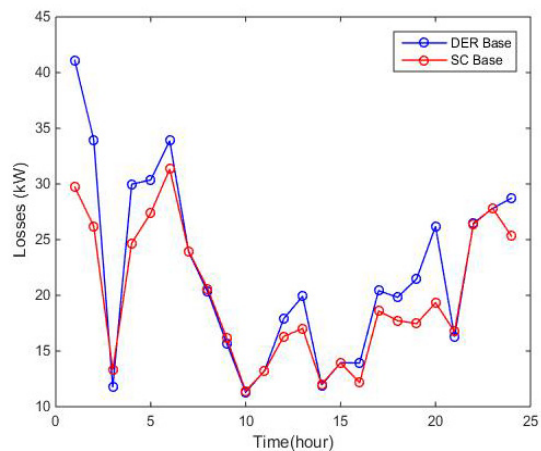


شکل ۵: مجموع توان راکتیو توزیعی (دریافتی) به (از) شبکه بالادست در هر ساعت.

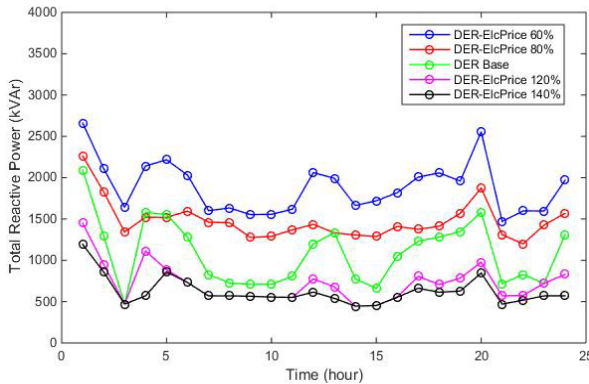
به صرفه‌تر است که دلیل این امر کمتری داشتن هزینه توان راکتیو خازن‌های قابل کلیدزنی می‌باشد. همچنین در حالت خازن‌ها افزایش توان راکتیو توزیعی به شبکه بالادست موجب افزایش هزینه فروش توان راکتیو به شبکه بالادست و در نتیجه کاهش هزینه کل بهره‌برداری شبکه در حالت خازن‌ها می‌شود. همان طور که در شکل ۴ آمده است توان راکتیو توزیعی توسط منابع انرژی توزیع شده و خازن‌های قابل کلیدزنی در حالت اول در مقایسه با حالت دوم کمتری دارد و دلیل آن می‌تواند محدودیت جبران توان راکتیو توزیع شده توان راکتیو پراکنده و سیستم‌های ذخیره‌ساز انرژی (محدودیت‌های ۱۴ و ۱۹) باشد و در نتیجه در حالت DER توان راکتیو توزیعی به شبکه بالادست محدود می‌شود.



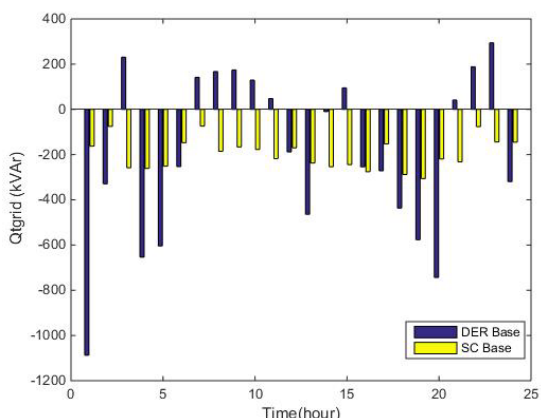
شکل ۹: میانگین تلفات در هر ساعت به ازای تغییرات هزینه توان اکتیو شبکه در حالت DER.



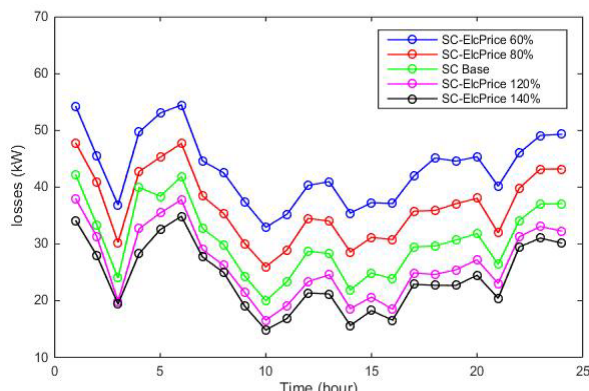
شکل ۱۰: میانگین تلفات در هر ساعت در دو حالت DER و SC با مaksimum توان راکتیو پکسان.



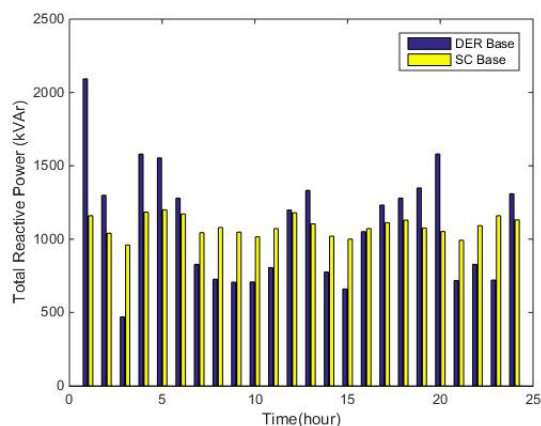
شکل ۱۱: توان راکتیو تزریقی در هر ساعت به ازای تغییرات هزینه توان اکتیو شبکه در حالت DER.



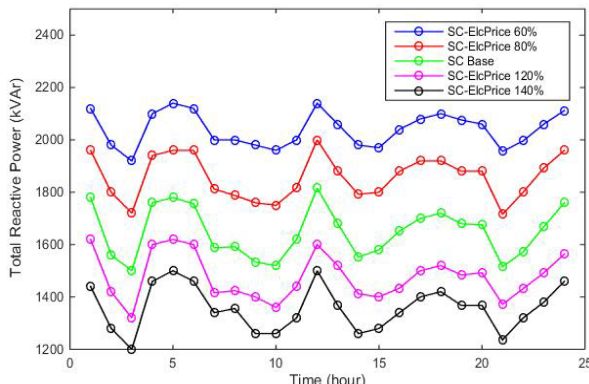
شکل ۱۲: مجموع توان راکتیو تزریقی (دریافتی) به (از) شبکه بالادست در هر ساعت با maksimum توان راکتیو پکسان.



شکل ۱۳: میانگین تلفات در هر ساعت به ازای تغییرات هزینه توان اکتیو شبکه در حالت SC.



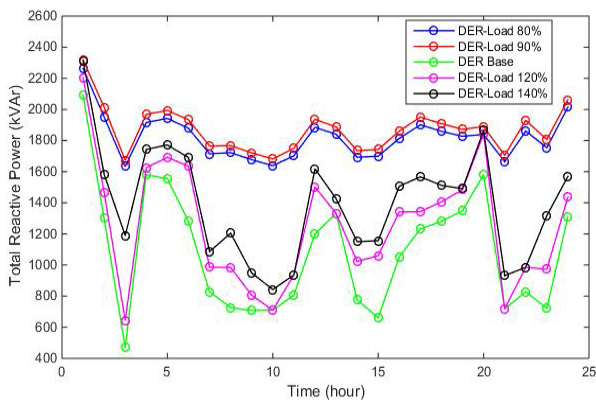
شکل ۱۴: مجموع توان راکتیو تزریقی در دو حالت DER و SC در هر ساعت با مaksimum توان راکتیو پکسان.



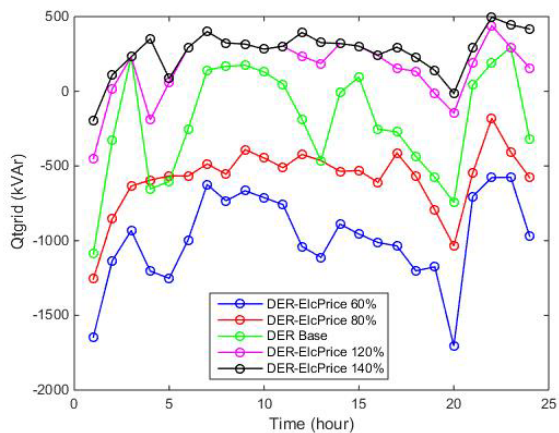
شکل ۱۵: توان راکتیو تزریقی در هر ساعت به ازای تغییرات هزینه توان اکتیو شبکه در حالت SC.

۶-۲-۵ بررسی اثر هزینه توان اکتیو بر مدیریت توان راکتیو برای شبکه ۳۳شینه

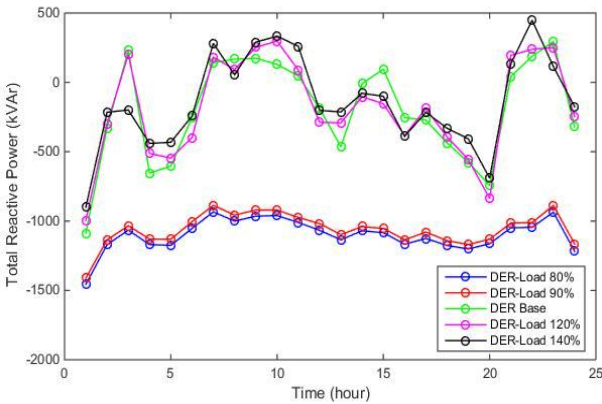
در این بخش به بررسی تغییرات هزینه توان اکتیو شبکه (c_i^{pgrid}) در هر دو حالت مدیریت توان راکتیو توسط منابع انرژی توزیع شده و خازن‌های قابل کلیدزنی پرداخته می‌شود. تغییرات میانگین تلفات و توان راکتیو تزریقی توسط منابع انرژی توزیع شده در هر ساعت به ازای تغییر هزینه توان اکتیو شبکه بهتر ترتیب در شکل‌های ۹ و ۱۰ نشان داده شده است. همچنان در شکل‌های ۱۱ و ۱۲ به ترتیب تغییرات میانگین تلفات و توان راکتیو تزریقی توسط خازن‌های قابل کلیدزنی در هر ساعت و به



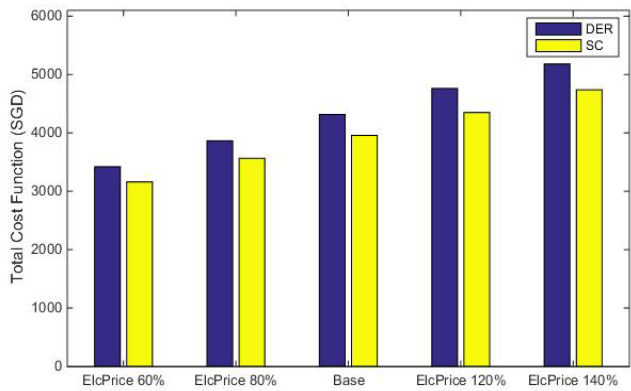
شکل ۱۶: توان راکتیو تزریقی در هر ساعت به ازای تغییرات بار شبکه در حالت .DER



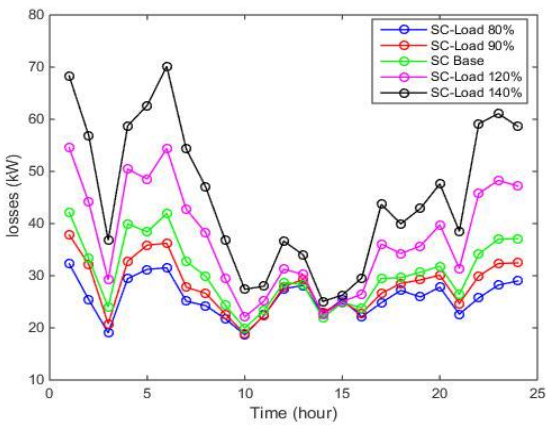
شکل ۱۳: مجموع توان راکتیو تزریقی (دریافتی) به (از) شبکه بالادست در هر ساعت در حالت .DER



شکل ۱۷: توان راکتیو تزریقی (دریافتی) به (از) شبکه بالادست در هر ساعت به ازای تغییرات بار شبکه در حالت .DER



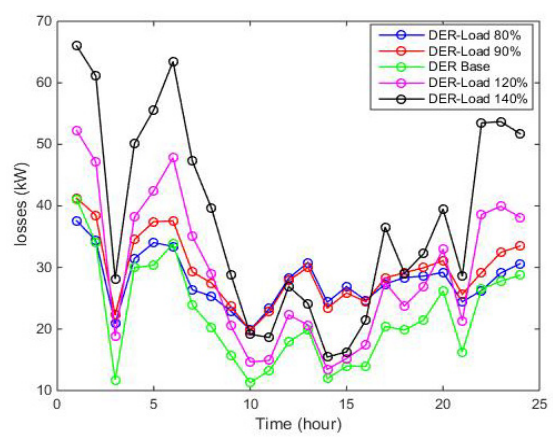
شکل ۱۴: هزینه کل بهره‌برداری شبکه به ازای تغییرات هزینه توان اکتیو شبکه در دو حالت .SC و DER



شکل ۱۸: میانگین تلفات در هر ساعت به ازای تغییرات بار شبکه در حالت .SC

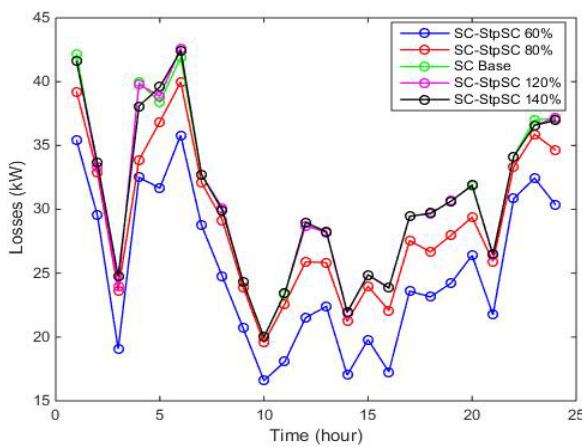
۶-۲-۶ بررسی اثر تغییرات بار بر مدیریت توان راکتیو برای شبکه ۳۳شینه

در این بخش با تغییر بار شبکه به بررسی تغییرات تلفات و توان راکتیو تزریقی به ریزشبکه در هر دو حالت جبران توان راکتیو توزع منابع انرژی توزیع شده و خازن‌های قابل کلیدزنی می‌پردازیم. شکل‌های ۱۵ تا ۲۰ به ترتیب نشان‌دهنده میانگین تلفات، توان راکتیو تزریقی توزع منابع انرژی توزیع شده و خازن‌ها به ریزشبکه و توان راکتیو تزریقی (دریافتی) به (از) شبکه بالادست در هر ساعت به ازای تغییرات بار شبکه در دو حالت منابع انرژی توزیع شده و خازن‌ها هستند. شکل ۲۱ به مقایسه هزینه کل بهره‌برداری شبکه در دو حالت منابع انرژی توزیع شده و خازن‌ها برای هر یک از حالت‌های در نظر گرفته شده برای بار شبکه می‌پردازد. نتایج به دست آمده نشان‌دهنده این موضوع است که در حالت منابع انرژی

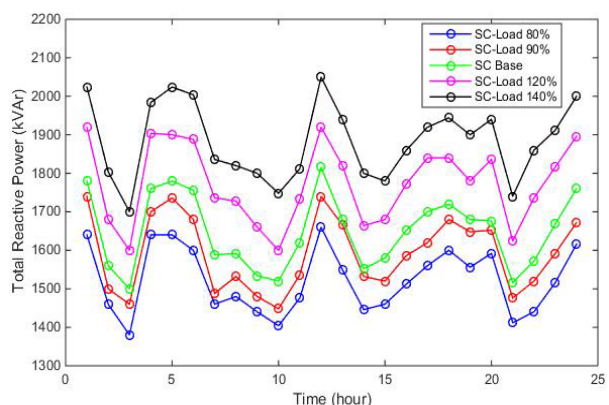


شکل ۱۵: میانگین تلفات در هر ساعت به ازای تغییرات بار شبکه در حالت .DER

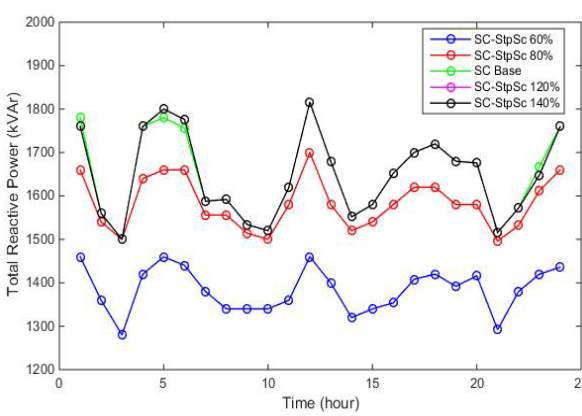
ازای هر یک از سناریوهای بیان شده برای هزینه توان اکتیو شبکه نشان داده شده است. همان طور که در شکل ۱۳ آمده است با افزایش هزینه توان اکتیو شبکه، توان راکتیو تزریقی به شبکه بالادست کاهش یافته که این امر موجب کاهش تلفات و افزایش میبینیم ولتاژ شبکه می‌شود. مطابق (۳۳)، هزینه توان راکتیو تزریقی توسط سیستم‌های ذخیره‌ساز انرژی وابسته به هزینه توان اکتیو شبکه است؛ از این رو در حالت جبران توان راکتیو توزع منابع انرژی توزیع شده با افزایش هزینه توان اکتیو شبکه، کاهش تزریق توان راکتیو توزع منابع انرژی توزیع شده محسوس‌تر است. هزینه کل بهره‌برداری شبکه برای هر یک از سناریوهای در نظر گرفته شده برای هزینه توان اکتیو شبکه در دو حالت منابع انرژی توزیع شده و خازن‌ها در شکل ۱۴ مقایسه گردیده است.



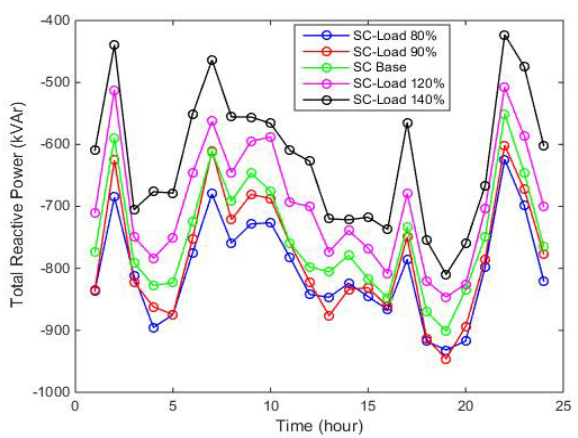
شکل ۲۲: تغییرات میانگین تلفات شبکه در هر ساعت به ازای تغییرات تعداد پله‌های خازن‌های قابل کلیدزنی.



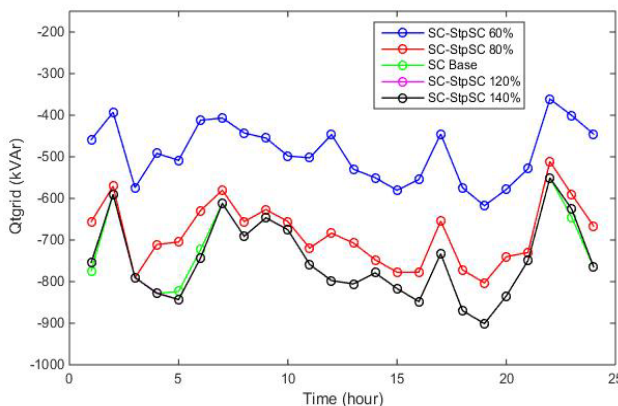
شکل ۱۹: توان راکتیو تزریقی در هر ساعت به ازای تغییرات بار شبکه در حالت SC



شکل ۲۳: توان راکتیو تزریقی توسط خازن‌های قابل کلیدزنی در هر ساعت



شکل ۲۰: توان راکتیو تزریقی (دریافتی) به (از) شبکه بالادست در هر ساعت به ازای تغییرات بار شبکه در حالت SC

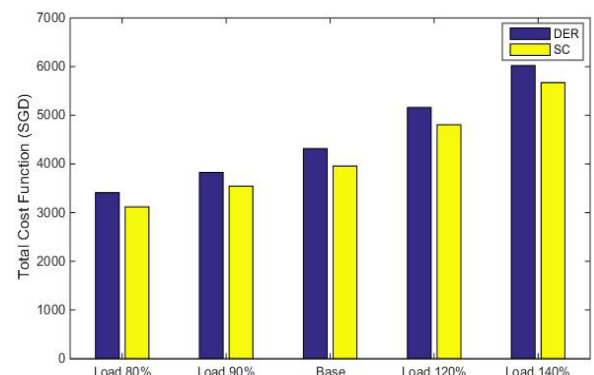


شکل ۲۴: توان راکتیو تزریقی (دریافتی) به (از) شبکه در هر ساعت به ازای تغییرات تعداد پله‌های خازن‌های قابل کلیدزنی.

تعداد پله‌های خازن‌های قابل کلیدزنی، توان راکتیو تزریقی توسط این تجهیزات افزایش یافته که این امر همان طور که در شکل ۲۴ نشان داده شده است موجب افزایش توان راکتیو تزریقی به شبکه بالادست و در نتیجه افزایش تلفات شبکه می‌شود.

۶-۲-۶ بررسی اثر تغییرات هزینه توان راکتیو منابع تولید پراکنده بر مدیریت توان راکتیو برای شبکه ۱۳۳

در این حالت، شکل‌های ۲۵ تا ۲۷ به ترتیب نشان‌دهنده میانگین تلفات، توان راکتیو تزریقی به ریزشبکه توسط منابع انرژی توزیع شده مقادیر بیشتری نسبت به سطوح بالاتر دارند. در نتیجه در این سطوح بار، توان راکتیو تزریقی به شبکه بالادست بیشتر بوده که این امر باعث افزایش تلفات شبکه نسبت به حالت مبنا می‌شود. مطابق شکل‌های ۱۷ و ۲۰ با افزایش بار، توان راکتیو تزریقی به شبکه بالادست کاهش یافته است.

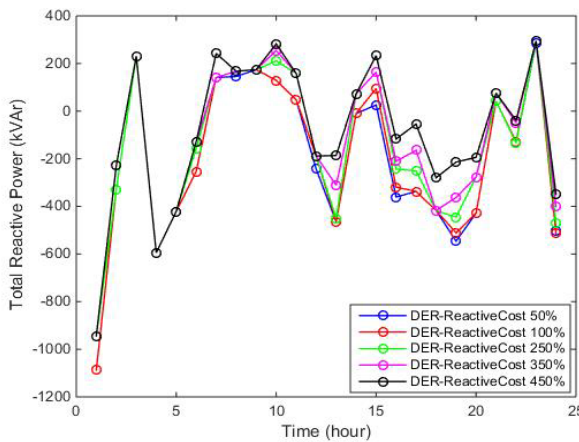


شکل ۲۱: هزینه کل بهره‌برداری شبکه به ازای تغییرات بار شبکه در دو حالت DER و SC

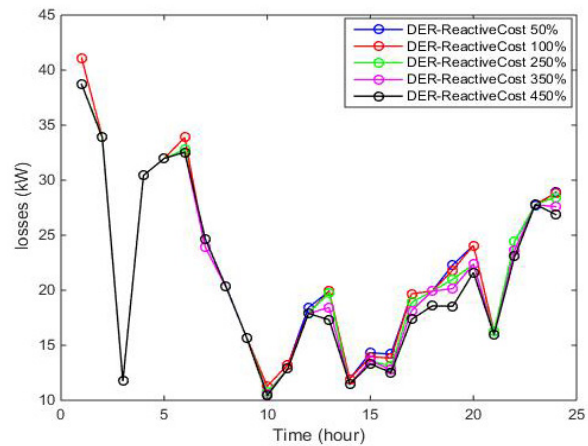
توزیع شده در سطوح بار کمتر از حالت مبنا، توان راکتیو تزریقی به ریزشبکه توسط منابع انرژی توزیع شده مقادیر بیشتری نسبت به سطوح بالاتر دارند. در نتیجه در این سطوح بار، توان راکتیو تزریقی به شبکه بالادست بیشتر بوده که این امر باعث افزایش تلفات شبکه نسبت به حالت مبنا می‌شود. مطابق شکل‌های ۱۷ و ۲۰ با افزایش بار، توان راکتیو تزریقی به شبکه بالادست کاهش یافته است.

۶-۲-۷ بررسی اثر تعداد پله‌های خازن‌های قابل کلیدزنی بر مدیریت توان راکتیو برای شبکه ۱۳۳

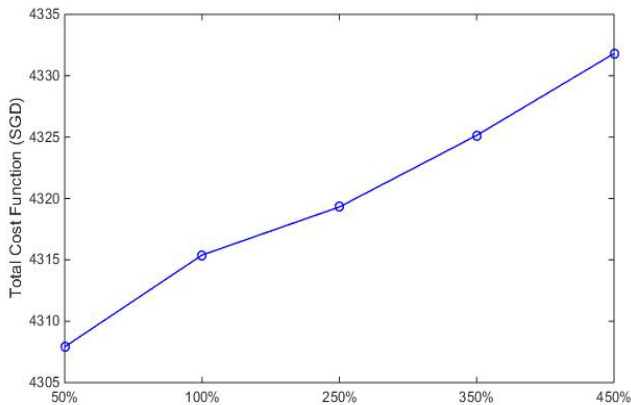
در این حالت نحوه تغییرات ساعتی میانگین تلفات شبکه به ازای تغییرات تعداد پله‌های خازن‌های قابل کلیدزنی از ۶ پله تا ۱۴ پله در شکل ۲۲ نشان داده شده است. شکل ۲۳ نشان می‌دهد که به ازای افزایش



شکل ۲۷: توان راکتیو تزریقی (دریافتی) به (از) شبکه بالادست در هر ساعت بهزای تغییرات هزینه توان راکتیو تولیدات پراکنده.



شکل ۲۵: میانگین تلفات در هر ساعت به ازای تغییرات هزینه توان راکتیو تولیدات پراکنده.



شکل ۲۸: هزینه کل بهرهبرداری شبکه به ازای تغییرات هزینه توان راکتیو تولیدات پراکنده.

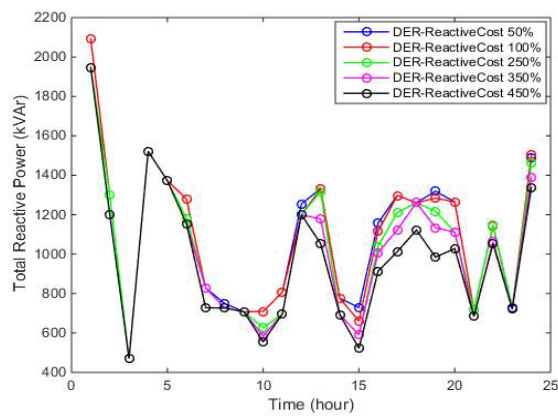
درنظرگرفتن عدم قطعیت در بار شبکه و تولید توان نیروگاه بادی و خورشیدی بر روی شبکه IEEE ۶۹ عشینه پیاده‌سازی می‌شود. میانگین تلفات و ولتاژ شبکه در هر یک از ساعت‌های شبانه‌روز در جدول ۵ نشان داده شده است.

۲-۳ حل مسئله در حالت دوم برای شبکه ۶۹ شبینه

در این بخش فرض گردیده که منابع تولید پراکنده و سیستم‌های ذخیره‌ساز انرژی، قادر به تأمین توان راکتیو نبوده و مدیریت توان راکتیو با استفاده از خازن‌های قابل کلیدزنی برای شبکه IEEE ۶۹ عشینه انجام شده است. برای انجام مطالعه در این حالت فرض گردیده که ۳ خازن قابل کلیدزنی در شین‌های ۲۳، ۲۲ و ۶۲ نصب شده است [۳۹]. در این مقاله، تعداد پله‌های در نظر گرفته شده برای خازن‌های قابل کلیدزنی ۱۳ پله و ظرفیت هر پله ۱۰۰ kVar می‌باشد. میانگین ولتاژ و تلفات شبکه در هر ساعت به ازای این حالت در جدول ۶ نشان داده شده است.

۳-۳ بررسی اثر ظرفیت منابع تولید پراکنده بر مدیریت توان راکتیو برای شبکه ۶۹ شبینه

در این بخش به بررسی تغییرات ظرفیت منابع تولید پراکنده (P_{DG}) در حالت مدیریت توان راکتیو توسط منابع انرژی توزیع شده پرداخته می‌شود. در این حالت، تغییرات میانگین تلفات شبکه در شکل ۲۹ نشان داده شده است. مطابق شکل ۳۰ با افزایش ظرفیت منابع تولید پراکنده، توان راکتیو تزریقی توسط این منابع کاهش یافته که این امر همان طور که در شکل ۳۱ نشان داده شده است، موجب کاهش نتیجه توان راکتیو تزریقی به شبکه بالادست می‌شود.



شکل ۲۶: توان راکتیو تزریقی در هر ساعت به ازای تغییرات هزینه توان راکتیو تولیدات پراکنده.

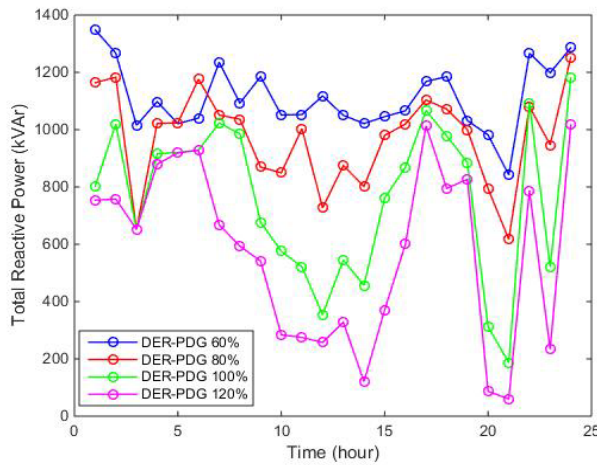
شبکه به ازای تغییرات هزینه توان راکتیو منابع تولید پراکنده در شکل ۲۸ نشان داده شده است.

۳- شبکه تست ۶۹ شبینه

در این بخش مسئله مدیریت توان راکتیو در حضور نیروگاه بادی و خورشیدی و سیستم‌های ذخیره‌ساز انرژی و با درنظرگرفتن عدم قطعیت در بار شبکه و تولید توان نیروگاه بادی و خورشیدی روی شبکه IEEE ۶۹ عشینه پیاده‌سازی می‌شود. مقدار تقاضای توان اکتیو و راکتیو این سیستم در شرایط نامی به ترتیب برابر ۳۸۰۲ کیلووات و ۲۶۹۴ کیلووات می‌باشد. اطلاعات مربوط به خطوط و بارهای این سیستم در [۴۳] آمده است. برای انجام مطالعه، فرض بر این است که یک نیروگاه بادی با ظرفیت ۱۳۳۴ کیلووات در شین ۶۳ و دو نیروگاه خورشیدی با ظرفیت ۵۴۷ و ۳۵۶ کیلووات به ترتیب در شین‌های ۱۱ و ۲۰ نصب شده است [۳۹]. همچنین دو منبع ذخیره‌ساز انرژی با ظرفیت ۵۰۰ کیلووات در شین‌های ۶ و ۶۳ نصب شده است. c_i^{pgrid} قیمت بازار برق عمده فروشی سنگاپور در تاریخ ۲۶ فوریه ۲۰۲۲ می‌باشد [۴۰]. c_i^{PDG} میانگین هزینه توان اکتیو شبکه (۶۹ شبینه) در نظر گرفته شده که برابر با $27/37$ cents SGD/kVArh است. هزینه‌های مرتبط با اینورتر باتری و هزینه بهره‌برداری خازن‌ها مشابه شبکه ۳۳ شبینه در نظر گرفته شده است.

۶-۱ حل مسئله در حالت اول برای شبکه ۶۹ شبینه

مشابه شبکه ۳۳ شبینه، در این حالت مسئله مدیریت توان راکتیو در حضور نیروگاه بادی و خورشیدی و سیستم‌های ذخیره‌ساز انرژی و با

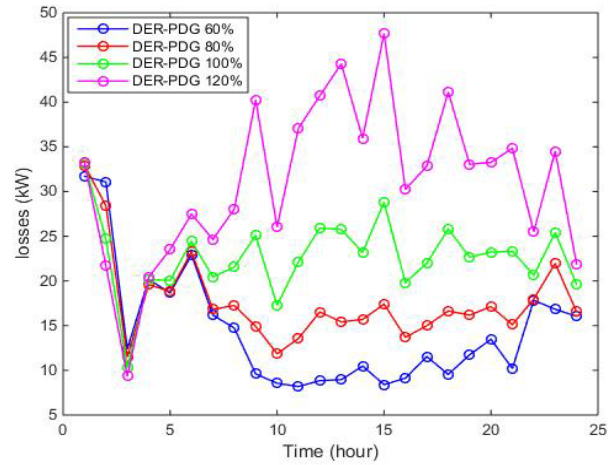


شکل ۳۰: توان راکتیو تزریقی در هر ساعت به ازای تغییرات ظرفیت منابع تولید پراکنده در حالت .DER

جدول ۴: میانگین ولتاژ و تلفات شبکه در هر ساعت.

	میانگین مینیمم ولتاژ	میانگین تلفات شبکه (kW)	میانگین ولتاژ
۱	۳۲,۶۸۰۰۵	۰,۹۰۹۹۱۱	۳۲,۶۸۰۰۵
۲	۲۲,۵۳۱۶۳	۰,۹۳۰۵۱۸	۲۲,۵۳۱۶۳
۳	۱۳,۴۲۹۴۲	۰,۹۷۳۹۵۶	۱۳,۴۲۹۴۲
۴	۲۲,۰۲۷۲۶	۰,۹۱۵۷۷۱	۲۲,۰۲۷۲۶
۵	۲۳,۴۸۷۷۶	۰,۹۱۶۴۹	۲۳,۴۸۷۷۶
۶	۲۶,۶۲۴۵۶	۰,۸۸۹۰۳۴	۲۶,۶۲۴۵۶
۷	۲۱,۹۱۸۲۶	۰,۹۲۶۶۵۸	۲۱,۹۱۸۲۶
۸	۲۳,۹۹۰۳۷	۰,۹۱۷۹۸	۲۳,۹۹۰۳۷
۹	۲۰,۰۷۶۱	۰,۹۷۶۵۵	۲۰,۰۷۶۱
۱۰	۱۷,۷۷۲۳۸	۰,۹۷۱۳۵۳	۱۷,۷۷۲۳۸
۱۱	۲۲,۷۸۵۲۹	۰,۹۸۲۲۸۷	۲۲,۷۸۵۲۹
۱۲	۲۰,۴۸۲۲۹	۰,۹۸۵۱۸۲	۲۰,۴۸۲۲۹
۱۳	۲۶,۸۸۳۹۶	۰,۹۹۰۴۷۲	۲۶,۸۸۳۹۶
۱۴	۲۳,۵۸۴۸۷	۰,۹۴۷۳۸	۲۳,۵۸۴۸۷
۱۵	۳۲,۳۵۳۶۲	۰,۹۹۶۸۵۱	۳۲,۳۵۳۶۲
۱۶	۲۳,۳۵۳۸۳	۰,۹۶۵۰۲۶	۲۳,۳۵۳۸۳
۱۷	۲۶,۲۶۴۴۷	۰,۹۷۲۱۱۱	۲۶,۲۶۴۴۷
۱۸	۲۹,۰۲۰۳۶	۰,۹۸۴۵۷۸	۲۹,۰۲۰۳۶
۱۹	۲۶,۵۶۳۸۱	۰,۹۴۸۱۱۷۴	۲۶,۵۶۳۸۱
۲۰	۲۲,۲۵۳۸۲	۰,۹۳۳۶۲۵	۲۲,۲۵۳۸۲
۲۱	۲۱,۳۷۱۸۱	۰,۹۶۷۲۷۴	۲۱,۳۷۱۸۱
۲۲	۲۱,۰۵۰۳	۰,۹۳۵۰۲۸	۲۱,۰۵۰۳
۲۳	۲۳,۵۱۵۵۲	۰,۹۱۰۱۰۵	۲۳,۵۱۵۵۲
۲۴	۲۱,۰۷۴۸۴	۰,۹۳۵۷۵	۲۱,۰۷۴۸۴
هزینه کل بهره‌برداری	۹۶۳۸,۹۳۶۴۱۲		

همچنین در این مقاله هزینه تأمین توان راکتیو توسط منابع انرژی توزیع شده شامل تولید پراکنده و سیستم‌های ذخیره‌ساز انرژی فرموله و سپس خطی‌سازی شده است. تابع هدف در نظر گرفته شده در این مقاله شامل کمینه‌سازی همزمان تلفات شبکه و هزینه تأمین توان راکتیو منابع انرژی توزیع شده می‌باشد. نتایج عددی به دست آمده از طریق نرم‌افزار GAMS بر روی شبکه استاندارد IEEE ۳۳-شیوه نشان می‌دهد که اگر هدف، فقط تأمین توان راکتیو شبکه با کمترین هزینه باشد جبران توان راکتیو توسط خازن‌های قابل کلیدزنی از لحاظ اقتصادی به صرفه‌تر بوده



شکل ۳۱: میانگین تلفات در هر ساعت به ازای تغییرات ظرفیت منابع تولید پراکنده در حالت .DER

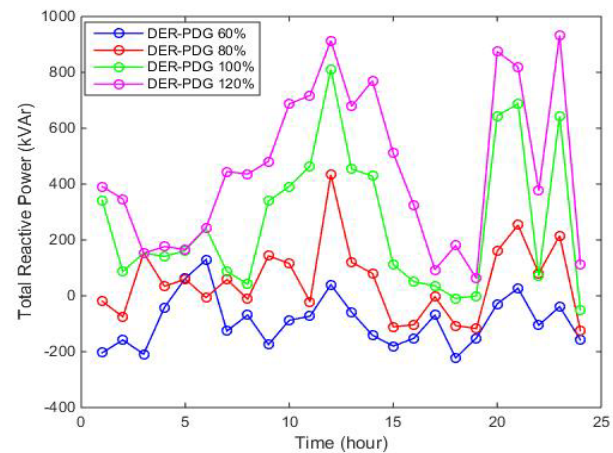
جدول ۵: میانگین ولتاژ و تلفات شبکه در هر ساعت.

	میانگین مینیمم ولتاژ	میانگین تلفات شبکه (kW)	میانگین ولتاژ
۱	۳۳,۱۲۲۴۱	۰,۸۹۷۵۴۹	۳۳,۱۲۲۴۱
۲	۲۴,۶۹۰۹۹	۰,۹۱۴۰۲	۲۴,۶۹۰۹۹
۳	۱۰,۰۳۰۴۳	۰,۹۵۸۷۰۷	۱۰,۰۳۰۴۳
۴	۲۰,۱۴۹۳۸	۰,۹۱۸۲۸	۲۰,۱۴۹۳۸
۵	۲۰,۰۶۰۹۹	۰,۹۱۹۸۹۱	۲۰,۰۶۰۹۹
۶	۲۴,۴۵۷۰۴	۰,۸۹۳۶۴	۲۴,۴۵۷۰۴
۷	۲۰,۴۳۹۸۲	۰,۹۲۵۰۴۹	۲۰,۴۳۹۸۲
۸	۲۱,۵۵۲۲۹	۰,۹۲۶۳۱۸	۲۱,۵۵۲۲۹
۹	۲۵,۰۹۲۶۳	۰,۹۷۲۷۲۸	۲۵,۰۹۲۶۳
۱۰	۱۷,۲۷۶۳۲	۰,۹۷۹۰۵۶	۱۷,۲۷۶۳۲
۱۱	۲۲,۱۱۸۴۴	۰,۹۷۵۲۱۳	۲۲,۱۱۸۴۴
۱۲	۲۵,۹۱۸۰۲	۰,۹۶۵۲۸۲	۲۵,۹۱۸۰۲
۱۳	۲۵,۷۵۱۸۸	۰,۹۸۷۱۹۵	۲۵,۷۵۱۸۸
۱۴	۲۳,۱۸۹۳۳	۰,۹۲۶۰۱۷	۲۳,۱۸۹۳۳
۱۵	۲۸,۸۰۳۰۳	۰,۹۹۶۸۵۱	۲۸,۸۰۳۰۳
۱۶	۱۹,۸۲۳۹	۰,۹۴۳۷۷۱	۱۹,۸۲۳۹
۱۷	۲۱,۹۷۷۵۶	۰,۹۷۶۸۷۵	۲۱,۹۷۷۵۶
۱۸	۲۵,۸۱۶۴۲	۰,۹۸۰۸۰۱	۲۵,۸۱۶۴۲
۱۹	۲۲,۶۶۰۱	۰,۹۴۵۳۳۴	۲۲,۶۶۰۱
۲۰	۲۳,۲۲۸۲۷	۰,۹۲۳۷۹۸	۲۳,۲۲۸۲۷
۲۱	۲۳,۳۲۴۵۲	۰,۹۴۶۰۵۸	۲۳,۳۲۴۵۲
۲۲	۲۰,۶۴۱۴۳	۰,۹۴۴۱۲۹	۲۰,۶۴۱۴۳
۲۳	۲۵,۴۰۸۶۵	۰,۹۰۰۶۰۳	۲۵,۴۰۸۶۵
۲۴	۱۹,۶۰۲۷۲	۰,۹۴۴۵۳	۱۹,۶۰۲۷۲
هزینه کل بهره‌برداری	۱۰۲۱۷,۷۶۰		

۷- نتیجه‌گیری

در این مقاله، مدل جامعی برای مدیریت بهینه توان راکتیو در شبکه‌های توزیع با درنظرگرفتن عدم قطعیت در بار شبکه و توان خروجی منابع تولید پراکنده ارائه شده است. لحاظکردن عدم قطعیت در مسئله مورد مطالعه، نه تنها خطای مدل‌سازی را کاهش می‌دهد بلکه بر روی پاسخ به دست آمده نیز تأثیرگذار است. بدین منظور از روش تولید سناریو برای مدل‌سازی عدم قطعیت‌های موجود در مسئله استفاده شده است.

- [11] Q. Han, G. Xiaojing, G. Yifang, Z. Hongmei, and L. Zhipeng, "Optimization of the active distribution network operation considering the V2G mode of electric vehicles," in *Proc. Int. Conf. on Power System Technology, POWERCON'18*, pp. 4488-4493, Guangzhou, China, 6-8 Nov. 2018.
- [12] H. Liu, et al., "Reactive power optimization of power grid with photovoltaic generation based on improved particle swarm optimization," in *Proc. IEEE PES Innovative Smart Grid Technologies Asia*, pp. 1536-1450, Chengdu, China, 21-24 May 2019.
- [13] L. Chen, Z. Deng, and X. Xu, "Two-stage dynamic reactive power dispatch strategy in distribution network considering the reactive power regulation of distributed generations," *IEEE Trans. on Power Systems*, vol. 34, no. 2, pp. 1021-1032, Mar. 2019.
- [14] M. Shaheen, H. Hasanien, and A. Alkuhayli, "A novel hybrid GWO-PSO optimization technique for optimal reactive power dispatch problem solution," *Ain Shams Engineering J.*, vol. 12, no. 1, pp. 621-630, Mar. 2020.
- [15] R. Ng Shin Mei, M. Sulaiman, Z. Mustaffa, and H. Daniyal, "Optimal reactive power dispatch solution by loss minimization using moth-flame optimization technique," *Applied Soft Computing*, vol. 59, pp. 210-222, Oct. 2017.
- [16] A. Rabiee, H. Feshki Farahani, M. Khalili, and J. Aghaei, "Integration of plug-in electric vehicles into microgrids as energy and reactive power providers in market environment," *IEEE Trans. on Industrial Informatics*, vol. 12, no. 4, pp. 1312-1320, Aug. 2016.
- [17] O. Gandhi, C. Rodriguez, W. Zhang, D. Srinivasan, and T. Reindl, "Economic and technical analysis of reactive power provision from distributed energy resources in microgrids," *Applied Energy*, vol. 210, pp. 827-841, Jan. 2018.
- [18] M. Doostizadeh, M. Khanabadi, and M. Ettehad, "Reactive power provision from distributed energy resources in market environment," in *Proc. 26th Iranian Conf. on Electrical Engineering, ICEE'18*, pp. 1362-1367, Mashhad, Iran, 8-10 May 2018.
- [19] Y. Levron, Y. Beck, L. Katzir, and J. Guerrero, "Real-time reactive power distribution in microgrids by dynamic programming," *IET Generation, Transmission & Distribution*, vol. 11, no. 2, pp. 530-539, Jan. 2017.
- [20] X. Zhang, X. Wang, and X. Qi, "Reactive power optimization for distribution system with distributed generations based on AHSPSO algorithm," in *Proc. China Int. Conf. on Electricity Distribution CICED'16*, 4 pp., Xi'an, China, 10-13 Oct. 2016.
- [21] M. Jie, D. Chaohua, Z. Xuexia, and W. Zhiyin, "Dynamic operation scenario reactive power optimization assessment with large-scale wind farm integration," *IFAC PapersOnLine*, vol. 51, no. 28, pp. 203-208, 2018.
- [22] R. Hebin, G. Hongjun, L. Junyong, and L. Youbo, "A distributionally robust reactive power optimization model for active distribution network considering reactive power support of DG and switch reconfiguration," *Energy Procedia*, vol. 158, pp. 6358-6365, Feb. 2019.
- [23] A. Samimi, M. Nikzad, and P. Siano, "Scenario-based stochastic framework for coupled active and reactive power market in smart distribution systems with demand response programs," *Renewable Energy*, vol. 109, pp. 22-40, Aug. 2017.
- [24] O. Gandhi, W. Zhang, C. D. Rodriguez-Gallegos, and M. Bieri, "Analytical approach to reactive power dispatch and energy arbitrage in distribution systems with DERs," *IEEE Trans. on Power Systems*, vol. 33, no. 6, pp. 6522-6533, Nov. 2018.
- [25] A. Samimi, "Probabilistic day-ahead simultaneous active/reactive power management in active distribution systems," *J. of Modern Power Systems and Clean Energy*, vol. 7, no. 6, pp. 1596-1607, Nov. 2019.
- [26] V. Fernao Pires, A. V. Pombo, and J. M. Lourenco, "Multi-objective optimization with post-pareto optimality analysis for the integration of storage systems with reactive-power compensation in distribution networks," *J. of Energy Storage*, vol. 24, Article ID: 100769, Aug. 2019.
- [27] A. Khandani and A. Akbari Foroud, "Design of reactive power and reactive power reserve market," *IET Generation, Transmission & Distribution*, vol. 11, no. 6, pp. 1443-1452, Apr. 2017.
- [28] R. H. Liang and J. H. Liao, "A fuzzy-optimization approach for generation scheduling with wind and solar energy systems," *IEEE-Trans. on Power Systems*, vol. 22, no. 4, pp. 1665-1674, Nov. 2007.
- [29] F. Samadi Gazuahani and J. Salehi, "Integrated DR and reconfiguration scheduling for optimal operation of microgrids using hong's point estimate method," *International J. of Electrical Power and Energy Systems*, vol. 99, pp. 481-492, Apr. 2018.
- [30] S. Huang and K. R. Shih, "Short-term load forecasting via ARMA model identification including non-gaussian process considerations,"



شکل ۳۱: توان راکتیو توزیعی (دربافتی) به (از) شبکه بالادست در هر ساعت به ازای تغییرات ظرفیت منابع تولید پراکنده در حالت DER

اما به دلیل کلیدزنی زیاد در اثر تغییرات بار و خروجی منابع انرژی تجدیدپذیر، احتمال مستهلك شدن سریع آنها وجود دارد و همچنین در این حالت برای کمینه‌سازی هزینه بهره‌برداری شبکه، توان راکتیو بیشتری به شبکه بالادست توزیع می‌شود و در نتیجه این امر باعث افزایش تلفات شبکه می‌گردد. منابع انرژی توزیع شده تغییرات آرامتری داشته و توان راکتیو توزیعی توسط این منابع محدود می‌باشد. همچنین نکته دیگری که در مورد این منابع وجود دارد آن است که تولید توان راکتیو توسط این منابع باعث کاهش ظرفیت تولید توان راکتیو این منابع می‌شود و به همین دلیل بهتر است در موقع ضروری از این منابع برای تأمین توان راکتیو شبکه استفاده شود.

مراجع

- [1] S. Bolognani and S. Zampieri, "A distributed control strategy for reactive power compensation in smart microgrids," *IEEE Trans. on Automatic Control*, vol. 58, no. 11, pp. 2818-2833, Nov. 2013.
- [2] T. Ding, S. Liu, Z. Wu, and Z. Bie, "A sensitivity-based relaxation and decomposition method to dynamic reactive power optimization considering DGs in active distribution networks," *IET Generation, Transmission & Distribution*, vol. 11, no. 1, pp. 37-48, Jan. 2017.
- [3] C. Masters, "Voltage rise: the big issue when connecting embedded generation to long 11 kV overhead lines," *Power Engineering J.*, vol. 16, no. 1, pp. 5-12, Feb. 2002.
- [4] G. Liu, Y. Xu, and K. Tomsovic, "Bidding strategy for microgrid in day-ahead market based on hybrid stochastic/robust optimization," *IEEE Trans. on Smart Grid*, vol. 7, no. 1, pp. 227- 237, Jan. 2016.
- [5] Y. J. Kim, J. L. Kirtley, and L. K. Norford, "Reactive power ancillary service of synchronous DGs in coordination with voltage control devices," *IEEE Trans. on Smart Grid*, vol. 8, no. 2, pp. 515-527, Mar. 2017.
- [6] Y. Tian and Z. Li, "Research status analysis of reactive power compensation technology for power grid," in *Proc. Condition Monitoring and Diagnosis, CMD'18*, 7 pp., Perth, Australia, 23-26 Sept. 2018.
- [7] O. D. Montoya and W. Gil-Gonzalez, "Dynamic active and reactive power compensation in distribution networks with batteries: a day-ahead economic dispatch approach," *Computers and Electrical Engineering*, vol. 85, Article ID: 106710, Jul. 2020.
- [8] R. H. A. Zubro, G. Mokryani, and R. Abd-Alhameed, "Optimal operation of distribution networks with high penetration of wind and solar power within a joint active and reactive distribution market environment," *Applied Energy*, vol. 220, pp. 713-722, Jun. 2018.
- [9] Y. Wang, et al., "Reactive power optimization of wind farm considering reactive power regulation capacity of wind generators," *IEEE PES Innovative Smart Grid Technologies Asia*, pp. 4031-4035, Chengdu, China, 21-24 May 2019.
- [10] M. Forozan Nasab and J. Olamaei, "Reactive power management in micro grid with considering power generation uncertainty and state estimation," *Signal Processing and Renewable Energy*, vol. 3, no. 2, pp. 25-35, Jun. 2019.

- [42] S. X. Chen, Y. S. F. Eddy, H. B. Gooi, M. Q. Wang, and S. F. Lu, "A centralized reactive power compensation system for LV distribution networks," *IEEE Trans. on Power Systems*, vol. 30, no. 1, pp. 274-284, Jan. 2015.
- [43] M. E. Baran and F. F. Wu, "Optimal sizing of capacitors placed on a radial distribution system," *IEEE Trans. on Power Delivery*, vol. 2, no. 1, pp. 735-743, Jan. 1989.

محبوبه اعتمادی‌زاده مدرک کارشناسی و کارشناسی ارشد مهندسی برق خود را بهترتبی در سال‌های ۱۳۹۴ و ۱۳۹۶ از دانشگاه بیرجند دریافت نمود. در سال ۱۳۹۶ دوره دکترا مهندسی برق قدرت در دانشگاه بیرجند وارد گردید و هم‌اکنون دانشجوی ترم ۶ دکترا می‌باشد. زمینه‌های تحقیقاتی مورد علاقه ایشان عبارتند از: مطالعات طراحی و بهره‌برداری شبکه‌های توزیع و مدیریت و کنترل توان راکتیو در شبکه‌های توزیع.

مریم رمضانی تحصیلات خود را در مقطع کارشناسی مهندسی برق از دانشگاه فردوسی مشهد و در مقاطع کارشناسی ارشد و دکترا مهندسی برق بهترتبی در سال‌های ۱۳۸۱ و ۱۳۸۷ از دانشگاه تربیت مدرس در تهران به پایان رسانده است. از سال ۱۳۸۷ در دانشکده مهندسی برق و کامپیوتر دانشگاه بیرجند مشغول به فعالیت گردید و اینک نیز عضو هیأت علمی این دانشکده می‌باشد. زمینه‌های علمی مورد علاقه نامبرده متعدد بوده و شامل موضوعاتی مانند مطالعات طراحی و بهره‌برداری شبکه‌های توزیع و مطالعات احتمالی می‌باشد.

حمید فلقی تحصیلات خود را در مقطع کارشناسی مهندسی برق از دانشگاه صنعت آب و برق و در مقاطع کارشناسی ارشد و دکترا مهندسی برق بهترتبی در سال‌های ۱۳۸۱ و ۱۳۸۷ از دانشگاه تربیت مدرس در تهران به پایان رسانده است. از سال ۱۳۸۶ در دانشکده مهندسی برق و کامپیوتر دانشگاه بیرجند مشغول به فعالیت گردید و اینک نیز عضو هیأت علمی این دانشکده می‌باشد. زمینه‌های علمی مورد علاقه نامبرده متعدد بوده و شامل موضوعاتی مانند مطالعات طراحی و بهره‌برداری شبکه‌های توزیع و مطالعات احتمالی می‌باشد.

- [31] North Dakota Agriculture Weather Network. [Online], <http://ndawn.ndsu.nodak.edu/wind-speeds.html>.
- [32] H. Geramifar, M. Shahabi, and T. Barforoshi, "Coordination of energy storage systems and DR resources for optimal scheduling of microgrids under uncertainties," *IET Renewable Power Generation*, vol. 11, no. 2, pp. 378-388, 2017.
- [33] S. Fink, J. Rogers, C. Mudd, M. Buckley, C. Clark, and G. Hinkle, "PJM renewable integration study: review of industry practice and experience in the integration of wind and solar generation, Tech Rep. GE Energy, Nov. 2012.
- [34] A. Samimi, A. Kazemi, and P. Siano, "Economic-environmental active and reactive power scheduling of modern distribution systems in presence of wind generations: a distribution market-based approach," *Energy Conver Manage*, vol. 106, pp. 495-509, 2015.
- [35] M. Braun, Provision of Ancillary Services by Distributed Generators, Ph.D Thesis Kassel University, 2008.
- [36] M. R. Dorostkar, M. Fotuhi-Firuzabad, M. Lehtonen, and A. Saifdarian, "Value of distribution network reconfiguration in presence of renewable energy resources," *IEEE Trans. on Power Systems*, vol. 31, no. 3, pp. 1879- 888, May 2016.
- [37] S. F. Santos, *et al.*, "Impacts of operational variability and uncertainty on distributed generation investment planning: a comprehensive sensitivity analysis," *IEEE Trans. Sustain Energy*, vol. 8, no. 2, pp. 855-869, Apr. 2017.
- [38] M. A. Kashem, V. Ganapathy, G. B. Jasmon, and M. I. Buhari, "A novel method for loss minimization in distribution networks," in *Proc. Int. Conf. on Electric Utility Deregulation and Restructuring and Power Technologies*, pp. 251-256, London, UK, 4-7 Oct. 2000.
- [39] C. Venkatesan, R. Kannadasan, M. Alsharif, M. K. Kim, and J. Nebhen, "A Novel Multiobjective Hybrid Technique for Siting and Sizing of Distributed Generation and Capacitor Banks in Radial Distribution Systems," *Sustainability* 2021, 13, 3308.
- [40] -, EMC: Energy Market Company Price Information, <https://www.emcsg.com/marketdata/priceinformation>
- [41] EMC: Use of System Charges, <https://www.mypower.com.sg/documents/tsusc.pdf>, 2016.